

Informe de Laboratorio N°04

Alumno: Méndez Martín

Docentes: Dra. Marconi Verónica I.; Dr. Banchio Adolfo

Universidad Nacional de Córdoba (UNC)

Facultad de Matemática, Astronomía, Física y Computación (FaMAF)

Curso de Física Computacional: Problema N°01

(*) Para mayor claridad se recomienda ver figuras en la versión digital.

I. INTRODUCCIÓN

I-1. Resumen

En el presente trabajo se implementará una simulación de Monte Carlo para el modelo de Ising ferromagnético en 2D con campo externo nulo y condiciones de contorno periódicas y se analizarán sistemas de tamaño 10x10, 20x20 y 40x40, de tal forma de comparar con los resultados analíticos de Onsager para el modelo de Ising en dos dimensiones:

$$k_B T_c / J = \frac{2}{\ln(\sqrt{2} + 1)} = 2,2692 \quad (1)$$

$\beta = 1/8, \gamma = 7/4, [M \sim (T_c - T)^\beta, \chi \sim (T - T_c)^\beta]$. Se estudiarán aspectos teóricos y numéricos. Analizando respuestas transitorias y estacionarias, condiciones de contorno periódicas, transiciones de fase, propiedades termodinámicas (energía, magnetización, calor específico y susceptibilidad magnética), configuraciones de orden/desorden, exponentes críticos, cumulantes de Binder y autocorrelaciones.

I-A. Modelo físico

El modelo de Ising es muy importante porque permite capturar la física de muchos sistemas con interacciones de corto alcance. El modelo estándar consiste en un sistema de spins en una red con interacciones de primeros vecinos. El hamiltoniano general del modelo es el siguiente,

$$\mathbb{H} = J \sum_{\langle i,j \rangle} s_i s_j - h \sum_i s_i; s_i = \pm 1; h = \mu B; J > 0 \quad (2)$$

donde B es la inducción magnética aplicada, μ es el momento magnético asociada a cada núcleo, J es la constante de acople entre los spins. El primer término tiene en cuenta la energía de intercambio y, como $J > 0$ la energía es mínima para el caso en que tenemos spins paralelos y estamos en presencia de un material *ferromagnético* (que sería nuestro caso de estudio), en caso contrario tendremos que $J < 0$, la energía mínima corresponde cuando todos los spins son antiparalelos y tenemos un material *antiferromagnético*. El segundo término expresa la interacción del sistema con el campo magnético externo aplicado, donde el signo menos significa que la energía es mínima en aquellos casos en que el momento magnético asociado a cada núcleo $\vec{\mu}$ y \vec{B} se alinean. Además, el valor de s_i depende del spin de la partícula, para spins $s_i = \pm 1/2$, la constante de acople J debe absorber un factor de $1/4$ y la constante h debe absorber un factor de $1/2$ para considerar

los únicos valores relevantes de $s_i = \pm 1$ (sistema de dos niveles). Cabe aclarar que, si bien en nuestro caso de estudio consideramos a J como un factor constante, la realidad es que la física ocurre precisamente en cómo definimos dicha constante para explicar procesos más complejos, es decir, esta constante puede depender de los acoples particulares en cuyo caso dependerá del par i, j considerado, además podrá depender de la temperatura. Por otro lado, si bien nosotros estamos interesados en describir propiedades en el estado estable (idealmente en el límite termodinámico) consideraremos $h = 0$, es decir, en el estado estable las interacciones entre spins primeros vecinos dominarán frente a las interacciones de cada spin con el campo magnético externo. Las fases del sistema estarán caracterizadas por la magnetización promedio (parámetro de orden) (ver figura 1).

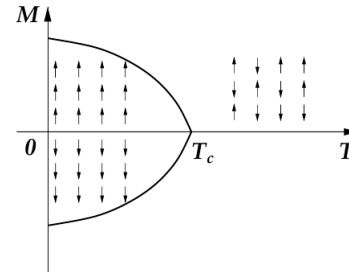


Fig. 1. Condiciones de contorno periódicas

I-A1. Condiciones de contorno periódicas (PBC)

Para implementar computacionalmente el modelo de Ising se requiere trabajar con matrices de spins finitas, por ello, se trabaja con PBC (por sus siglas en inglés). Para computar las auto energías del hamiltoniano de Ising es necesario que cada spin vea a sus cuatro primeros vecinos, por ello, las PBC se llevan a cabo de como se muestra en la figura 2 donde la primer y última fila de spins tienen como vecinos de izquierda a la última columna de spins y como vecinos de derecha a la primer columna de spins, sin embargo, se diferencian en que la primer fila de spins tiene como vecinos superiores a la última fila de spins y la última fila de spins tiene como vecinos inferiores a la primer fila de spins. Claramente, estas PBC serán relevantes cuando se estudien los efectos de tamaño y de superficie. Por ejemplo, con las PBC no existirán efectos de superficie, pues tendremos redes de spins infinitas, sin embargo, tendremos efectos de tamaño, es decir, al calcular propiedades magnéticas (o transiciones de fase) sabemos que los desarrollos multipolares decaen como r^{-n} ,

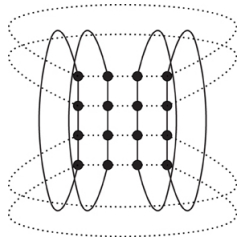


Fig. 2. Condiciones de contorno periódicas

es decir, son interacciones de largo alcance y como sólo consideramos primeros vecinos y, además, la red es finita tendremos diferencias significativas respecto a los resultados experimentales. Entonces, para mejorar los resultados la red de spins deberá ser mayor que la longitud característica de correlación. Cabe aclarar que existen otras condiciones de contorno posibles, por ejemplo, las condiciones de contorno libres (FBC) donde los vecinos de los bordes de la matriz de spins son nulos, y también, campos de contorno (campos efectivos). Dependiendo de los fenómenos y/o propiedades que se quieran estudiar se aplicarán uno u otras condiciones, incluso podrán aplicarse de forma simultánea.

II. RESULTADOS Y DISCUSIONES

II-A. Problemas numéricos

Para realizar una relajación hacia la temperatura de equilibrio y explorar el espacio de configuraciones de forma aleatoria, fue necesario obtener números random enteros para ello se utilizó tal como se ilustra en el siguiente programa (haciendo uso de la función $\text{floor}(x)$):

```
1 ! make clean
2 ! make test_integer_rnd.o && ./test_integer_rnd.o
3 program test_integer_rnd
4   use module_precision; use module_random_generator
5   implicit none
6   integer(sp), parameter :: m=1, n=10
7   integer(sp) :: seed, seed_val(8)
8   integer(sp) :: i, j, i_rnd, j_rnd
9   real(dp) :: nrand
10  ! generate seed
11  call date_and_time(values=seed_val)
12  seed=seed_val(8)*seed_val(7)*seed_val(6)+&
13    seed_val(5)
14  ! floor(x,type) returns the greatest integer
15  ! less than or equal to x
16  do i=1,n; do j=1,n
17    ! We want to choose one from m to n integers
18    nrand=ran2(seed)
19    i_rnd=m+floor((n+1-m)*nrand, sp) ! rows
20    nrand=ran2(seed)
21    j_rnd=m+floor((n+1-m)*nrand, sp) ! columns
22    write(*,*) i_rnd, j_rnd
23  end do; end do
24 end program test_integer_rnd
```

Por otra parte, como en algunas partes del programa es necesario computar la función exponencial decreciente de argumentos muy grandes, se corre el riesgo de producir *underflows* de valores, por ello, se utilizó la función $\text{tiny}(x)$ tal como se muestra en el siguiente programa:

```
1 ! make clean && make test_underflows_exp_function.o
2 ! ./test_underflows_exp_function.o
```

```
3 program test_underflows_exp_function
4   use module_precision
5   implicit none
6   real(dp) :: x, result
7   integer(sp) :: i
8   ! tiny(x) returns the smallest positive
9   ! (non zero) number in the model of the type of
10  x
11  write(*,*) 'abs(log(tiny(x)))=', &
12    abs(log(tiny(1._dp)))
13  do i=1,800
14    x=real(i, dp)
15    if (x<abs(log(tiny(result)))) then
16      result=exp(-x)
17    else; result=0._dp; end if
18    write(*,*) x, result
19  end do
20 end program test_underflows_exp_function
! Note: https://gcc.gnu.org/onlinedocs/gcc-4.5.4/
gfortran/TINY.html
```

II-A1. ¿Cómo explorar el espacio de configuraciones?

Para explorar el espacio de configuraciones de forma ordenada, no hay dudas de que debemos consultar en cada lugar de la red si es posible *flip*ear el spin, es decir, de esta forma nos aseguramos fielmente que estamos recorriendo todo el espacio de configuraciones y en consecuencia realizamos un MC_{step} . Ahora bien, al momento de explorar el espacio de configuraciones de forma random, no estamos seguros de que tirando nn índices de la matriz de spins visitaremos todos los spins, pues podría ocurrir que se repitieran ciertos índices, sin embargo, si tiramos más que nn índices, con toda seguridad, visitaríamos más de un índice y esto no sería un MC_{step} . Por ello, al explorar el espacio de configuraciones de forma aleatoria, si tiran, igual que en el caso ordenado, tantos índices como spins tengamos. La diferencia sustancial entre estos dos métodos (ambos igualmente válidos) es que al momento de agrandar la dimensión de la red el método aleatorio es mucho más rápido computacionalmente que el método ordenado.

II-A2. ¿Configuraciones con mínimos locales?

En algunas simulaciones se han obtenido resultados no esperados al relajar el sistema, por ejemplo, a bajas temperaturas se obtenían determinadas configuraciones de spins para la cual no podía ocurrir ningún *flip*eo, es decir, nunca ocurría que < 0 y para los casos en que > 0 el sistema no era capaz de relajar hacia el equilibrio real, pues como la relajación sigue la ley de Boltzmann, a bajas temperaturas el $\Delta U/T$ es muy grande y la exponencial decreciente es muy pequeña y el *flip* nunca puede ocurrir. Esto puede deberse a problemas en las PBC, las cuales si no están implementadas correctamente pueden inducir bandas de spins con el mismo valor (todos positivos o todos negativos) las cuales tienen la particular característica de que no admiten (a bajas temperaturas) relajamiento hacia algún otro mínimo de energía y tendremos un estado *metaestable*. Además, debemos tener en cuenta que los efectos de tamaño en las simulaciones también pueden influir en estas cuestiones, y a medida que disminuimos el tamaño más apreciables se hacen estos efectos, para ello se debe mencionar que existen métodos más eficientes para analizar el comportamiento del sistema a bajas temperaturas, donde se controla el tiempo de permanencia del sistema en un posible mínimo global, y en caso de tratarse

de un mínimo global se modifica el algoritmo (mejorando la implementación del importance sampling) se permite que el sistema relaje hacia el mínimo global.

II-A3. ¿Cómo determinamos el tiempo de termalización?

Es necesario aclarar que el tiempo de termalización no es independiente de la temperatura, ni de la configuración inicial de la red de spins. Por ello se utilizaron 3000 pasos de Monte Carlo (MC_{step}) luego de los cuales se considera estado estacionario y donde se empiezan a recolectar los observables. Sin embargo, para reducir el tiempo de CPU es necesario determinar con precisión la cantidad de pasos de Monte Carlo que se necesitan descartar de acuerdo a cada rango de temperatura que se esté simulando. Para determinar el tiempo de termalización de $MC_{step} = 3000$ se analizó la respuesta del sistema para distintas temperaturas (tanto lejos como cerca de la temperatura crítica), y usando un total de $MC_{step} = 50000$, en la figura 3 se muestran los resultados obtenidos para una red 40x40 (se simuló este tamaño de red, debido a que los sistemas pequeños al tener menor cantidad de configuraciones posibles, tienden a termalizar más rapido). En las gráficas se puede observar que el transitorio es muy pequeño, es decir, que los valores magnetización y energía convergen muy rápido a los valores estables entonces, a modo de asegurarnos de estar en régimen estacionario se propuso un transitorio de $MC_{step} = 3000$.

II-B. Cambios de flips

Teniendo en cuenta que el método de metrópolis es, en esencia, un caso de *importance sampling* donde evaluamos las energías de cada configuración flippeando un único spin de la red y donde se tienen dos casos, por un lado, si esta nueva energía es menor que la energía de la configuración anterior se acepta el flípeo, y el sistema evoluciona y, por otro lado, si la nueva energía es mayor a la energía anterior se acepta bajo el criterio de boltzmann que consiste en aceptar el flip bajo la siguiente hipótesis (ver ecuación 3), donde el rnd es un número random de distribución uniforme que varía de cero a uno (en el presente trabajo se trabajo con el generador de números random Mersenne Twister).

$$\exp(-\Delta U/k_B T) \geq rnd \quad (3)$$

Por otro lado, para no computar todas las veces la energía de la configuración nueva, sólo evaluamos la diferencia entre energías (actual y anterior) y en función de su valor (negativa, positiva o nula) aceptamos bajo el criterio anterior, el fragmento de código 1 que se muestra a continuación realiza el cálculo anterior, donde se tuvieron en cuenta, en caso de aceptar el flip, los cambios PBC.

Listing 1: Subrutine: Método de Metrópolis

```

1 do k=1,n*n ! exploramos el espacio de
  configuraciones de forma random
2 ! floor(x,type) returns the greatest integer less
  than or equal to X
3 ! random integer from 2 to n+1 (fila)
4 nrand=real(grnd(),dp); i=2_sp+floor(n*nrand, sp)
5 ! random integer from 2 to n+1 (columna)
6 nrand=real(grnd(),dp); j=2_sp+floor(n*nrand, sp)

```

```

deltaU_adim=U_delta_adim(aux_matrix_pbc(i,j),&
aux_matrix_pbc(i,j+1),aux_matrix_pbc(i,j-1),&
aux_matrix_pbc(i+1,j),aux_matrix_pbc(i-1,j))
cond1: if (deltaU_adim<=0._dp) then
  U_adim=U_adim+deltaU_adim
  aux_matrix_pbc(i,j)=-aux_matrix_pbc(i,j)
  ! actualizamos condiciones de borde
  call pbc_ij(aux_matrix_pbc,n,i,j)
else
  if (T_adim==0._dp) exit cond1
  nrand=real(grnd(),dp)
  if (deltaU_adim*(1._dp/T_adim)<&
    abs(log(tiny(1._dp)))) then
  if (exp(-deltaU_adim*(1._dp/T_adim))>=nrand) then
    U_adim=U_adim+deltaU_adim
    aux_matrix_pbc(i,j)=-aux_matrix_pbc(i,j)
    ! actualizamos condiciones de borde
    call pbc_ij(aux_matrix_pbc,n,i,j)
  end if
else
  if (nrand==0._dp) then
    U_adim=U_adim+deltaU_adim
    aux_matrix_pbc(i,j)=-aux_matrix_pbc(i,j)
    ! actualizamos condiciones de borde
    call pbc_ij(aux_matrix_pbc,n,i,j)
  end if
end if
end if cond1
end do

```

II-C. Cálculo de propiedades termodinámicas

Los resultados obtenidos de magnetización media (en valor absoluto), energía media, calor específico (a volumen constante) y susceptibilidad magnética se muestran en las gráficas 4, para distintos tamaños de red. En estas gráficas se puede observar que en el caso de la magnetización a medida que aumenta el tamaño de red los resultados se aproximan más al valor exacto. Analizando la energía (por unidad de tamaño de red), por el contrario, dio muy similar en todos los casos. Además, al analizar el calor específico y la susceptibilidad magnética que sabemos son, en esencia, una medida directa de las fluctuaciones de energía y magnetización, respectivamente, vemos que al aumentar el tamaño de red el calor específico tiende a una delta de Dirac entorno a la temperatura crítica lo cual nos muestra que en tamaños de red finitos no existen divergencias sino que el sistema tiene la capacidad de flippear spins entre una fase y otra lo cual sabemos que en la realidad no ocurre; para el caso de la susceptibilidad vemos que tampoco existe una divergencia real, pero de igual forma a medida que aumenta el tamaño de red se tiende a una Delta de Dirac, también, notamos una desviación de los picos de las curvas acercándose ésta a la temperatura crítica a medida que aumentamos el tamaño de red. Por otro lado, en las corridas anteriores se tomo el tiempo de cpu para obtener una idea estimada de cuán costoso computacionalmente se vuelve el problema a medida que incrementamos el tamaño de red los resultados fueron 180,0229[s] para una red de 10x10, 771,0757[s] para una red de 20x20 y 2923,0955[s] para una red de 40x40, notando que en este último caso se incremento el tiempo unas 16 veces más aproximadamente que el primer caso y unas 4 veces más aproximadamente que el segundo caso.

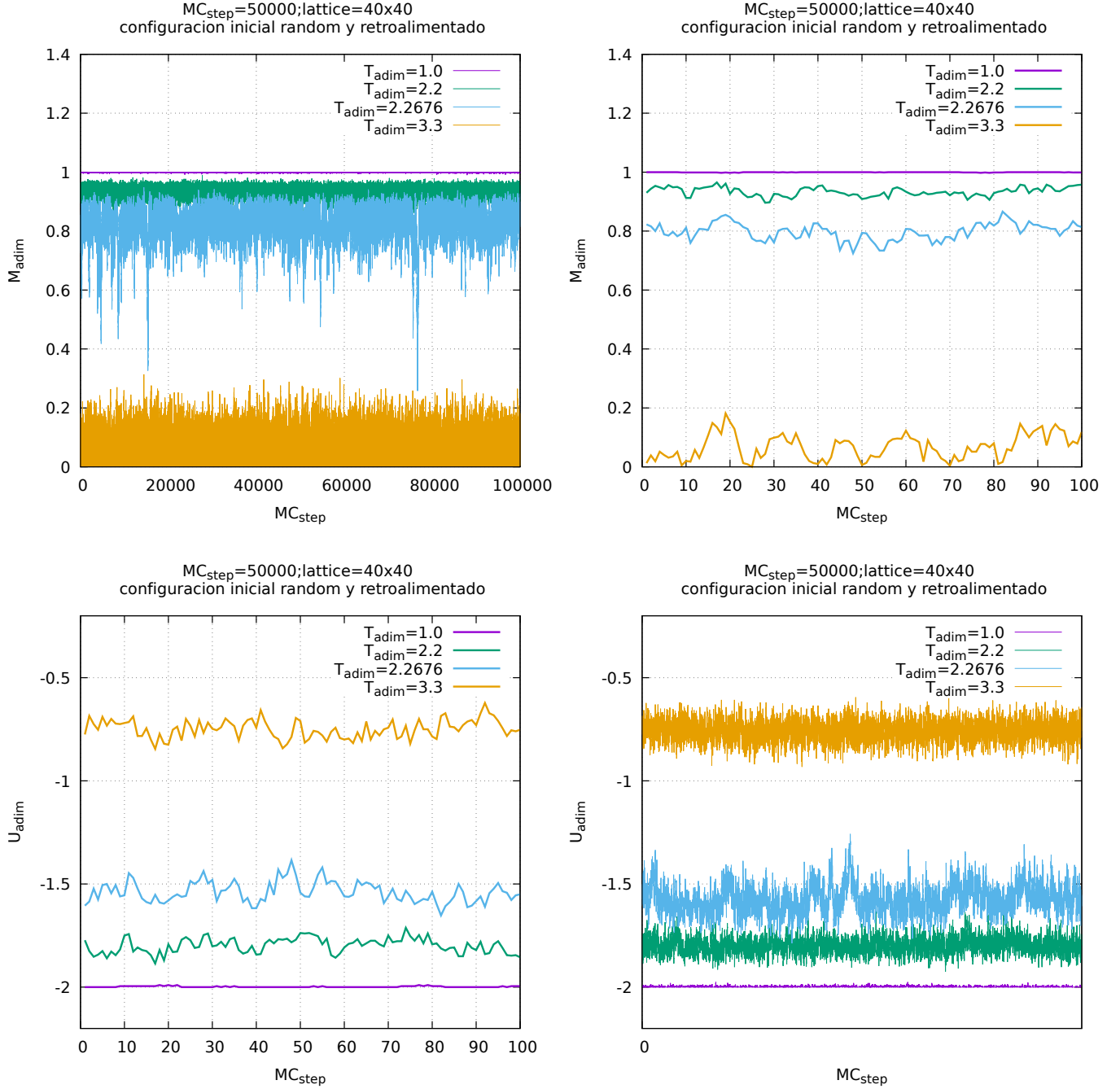


Fig. 3. Respuesta transitoria y estacionaria del sistema

II-D. Distribuciones de probabilidad

En la figura 5 se muestran los histogramas obtenidos representando las distribuciones de probabilidad para la magnetización, para ello se compraron histogramas a temperaturas por debajo y por encima de la temperatura crítica y para distintos tamaños de red. Notemos que para temperaturas bajas $T < T_{c_{prox}}$ tenemos una distribución *doble pico*, con mayor probabilidad en los valores de magnetización $M_{adm} = \pm 1$ y a medida que aumentamos el tamaño de red los picos se hacen más angostos, por lo menos esto es claro de ver entre los tamaños 10x10 y 20x20, para el caso de 40x40 se ve, en lugar

de más angosto, más ancho que el caso de 20x20, esto podría deberse a que no se simuló exactamente a la temperatura crítica del sistema según esta dimensión ($T_{c_{prox}}$). Lo que esperaríamos ver es que a medida que aumenta la dimensión de red la probabilidad de transición entre magnetización $M_{adm} = 1$ y $M_{adm} = -1$ se hace nula, recordando que, experimentalmente se medirá ó $M_{adm} = 1$ ó $M_{adm} = -1$, no ambas, y el valor dependerá de la configuración inicial de spins que tenga la muestra. Por otro lado, para temperaturas altas $T > T_{c_{prox}}$ observamos que tenemos una distribución *único pico*, donde la probabilidad es mayor para una magnetización nula, y aquí sí

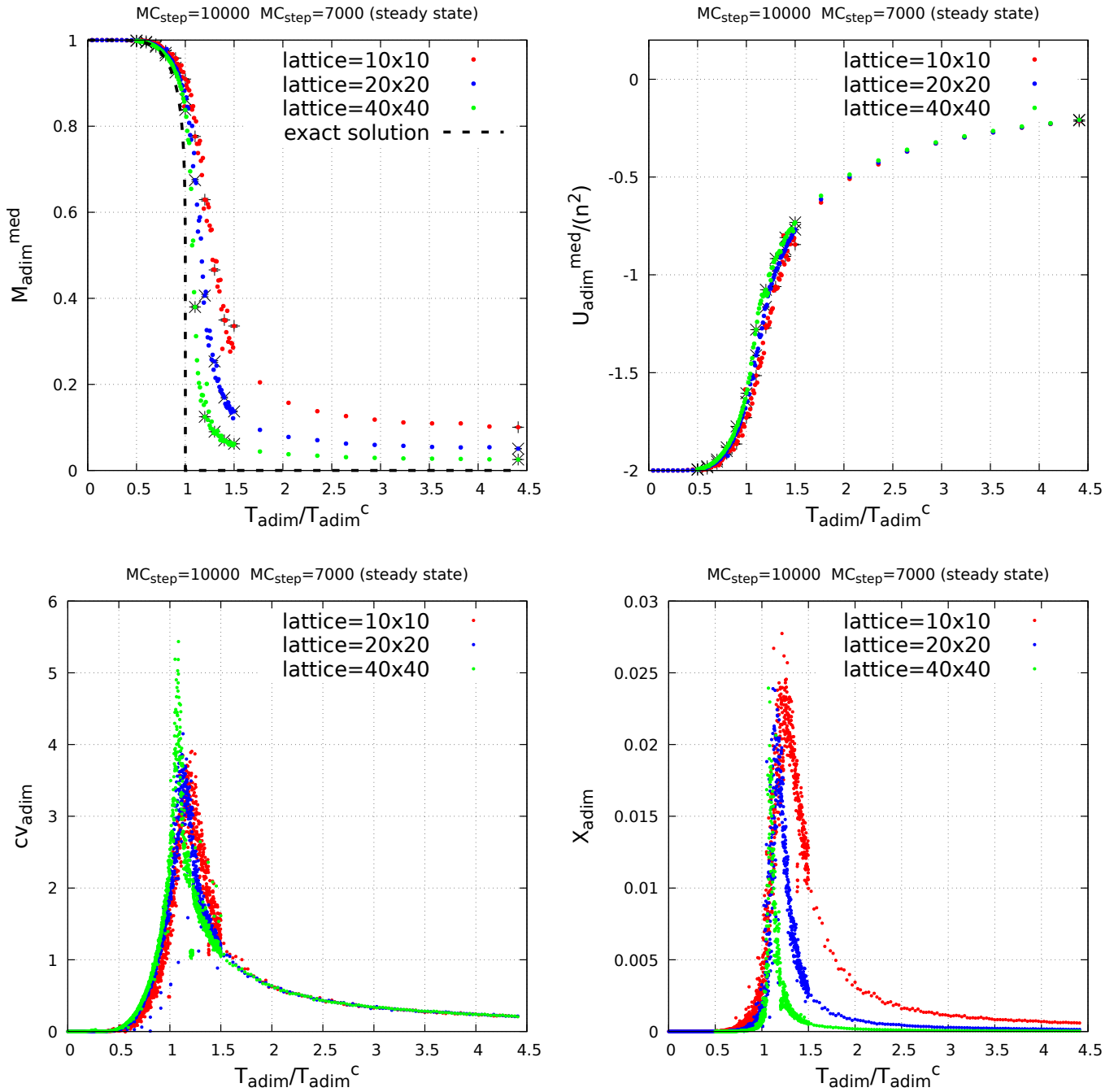


Fig. 4. Resultados de observables para distintos tamaños de red

se ve claramente que al aumentar la dimensión de la red el pico se vuelve angosto. Estas dos formas de distribución *doble pico* y *único pico* se puede explicar si recordamos que el modelo de Ising está gobernado por la energía libre de Helmholtz ($F = U - T \cdot S$) entonces a bajas temperaturas los spins tienden a ordenarse disminuyendo lo más posible la entropía del sistema (S) y el sistema estará gobernado por su energía interna obteniendo una magnetización media definida (qué en sistemas finitos, se observan efectos de tamaño que hacen que los spins puedan *flippear* entre los dos valores degenerados de magnetización), en cambio, a altas temperaturas los spins

tienden a desalinearse aumentando lo más posible la entropía del sistema y, en consecuencia, es esta la que gobierna el sistema obteniendo una magnetización media nula. Entonces, vemos que el sistema está en continua lucha entre la energía interna y entropía, y el sistema evolucionará según cual de estas cantidades venza para una dada temperatura. Para verificar que efectivamente se obtienen configuraciones distintas a bajas (ordenado) y a altas (desordenado) temperaturas se muestran en la figura [13](#), donde se imprimieron las configuraciones de spins para una red de tamaño 40x40 para temperaturas por debajo, igual y por encima de la temperatura crítica.

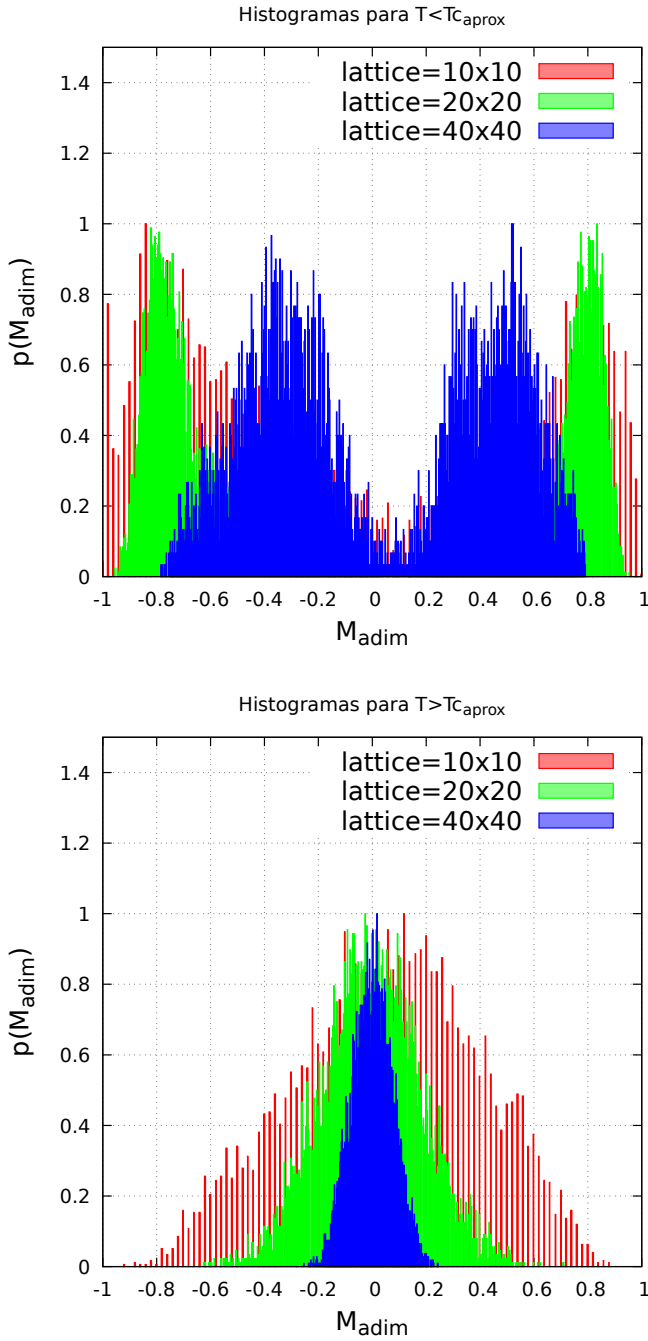


Fig. 5. Histogramas de magnetización para distintos tamaños de red y distintas temperaturas

Notemos además que se compararon las configuraciones en el equilibrio partiendo con una configuración inicial random (alta temperatura, desordenado, enfriamiento) y partiendo con una configuración inicial ordenada con todos los spins up (baja temperatura, ordenado, calentamiento), además se debe aclarar que la palabra *retroalimentado* en la figura se refiere a que todas las termalizaciones se hacen gradualmente a temperaturas intermedias con un delta de temperaturas no tan abrupto (evitando el *quenching*) y en consecuencia cada paso de temperatura comienza con una configuración inicial de spins

según termalizó la temperatura inmediatamente anterior, de esta forma se reduce tiempo de computo y se simula de acuerdo a parámetros más realistas.

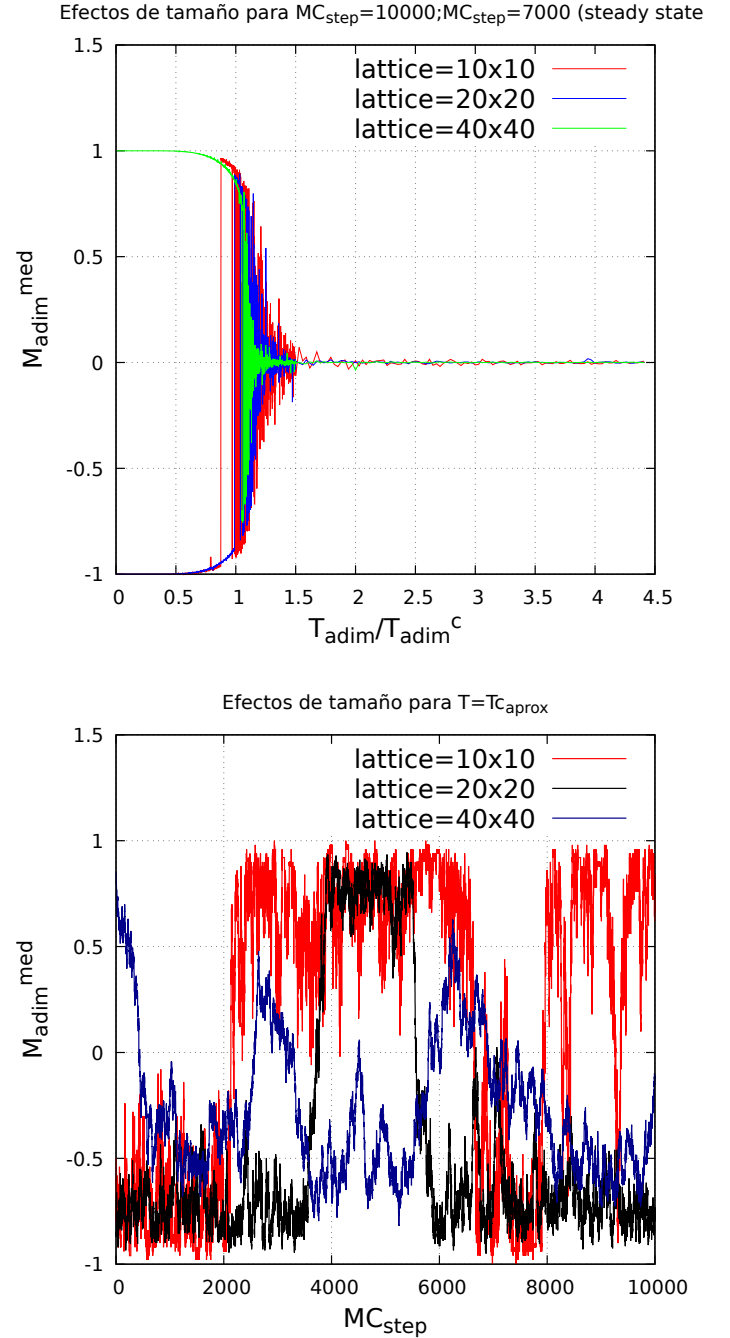


Fig. 6. Efectos de tamaño en oscilaciones de la magnetización

Por otro lado, para entender un poco más los efectos de tamaño en las simulaciones se graficaron las oscilaciones que presenta la magnetización comparando para distintos tamaños de red. En la figura 6 se observa a la izquierda que a medida que aumenta el tamaño de la red, las oscilaciones en $T = T_c$ disminuyen, lo que nos muestra que, en consecuencia, también disminuyen las fluctuaciones en la magnetización. Y, a la derecha, se observa que el tiempo ergódico aumenta a medida

que aumenta el tamaño de red aumenta, es decir, que el sistema tiene menos probabilidad de flippear entre valores de magnetización ± 1 , además, este gráfico nos muestra también que, si trabajamos con el la expresión de la magnetización sin valor absoluto debemos tener presente este tiempo ergódico y realizar los promedios en tiempos de observación menores a estos, caso contrario corremos el riesgo de que los valores medios nos den nulos, cuando en la realidad no es así.

II-E. Análisis entorno a la transición de fase

II-E1. Cumulantes de Binder

Para estimar las temperaturas críticas según cada tamaño de red se calculó el cumulante de Binder [4] que caracteriza a distribuciones de probabilidad gaussianas,

$$U_L = 1 - \frac{\langle m^4 \rangle_L}{3(\langle m^2 \rangle_L)^2} \quad (4)$$

que relaciona el cuarto momento con el segundo momento de la magnetización específica. Este parámetro es bueno porque presenta un cambio claro para la temperatura crítica, además, como el cumulante no depende de las fluctuaciones de (de energía o de magnetización) su empleo para determinar aproximadamente la temperatura es mejor, que al analizar únicamente la energía o la magnetización, cuyos resultados cerca de la temperatura crítica es muy imprecisa. Los resultados obtenidos se muestran en la figura 7, donde simulamos distintos tamaños de red y dos versiones en las configuraciones, la versión 1 consiste en realizar un único experimento de mayor duración y la versión 2 consiste en realizar varios experimentos de menor duración. En consecuencia, al variar los tamaños de red y calculamos el cumulante de Binder para cada caso, esperamos que todos ellos se crucen en un único punto que determina la temperatura crítica. Entonces, analizando los resultados se puede observar que las gráficas, a pesar de usar extrapolación de orden cúbico para evidenciar los cruces, no se obtuvieron buenos resultados, sin embargo, si se evidencia que a medida que aumenta el tamaño de red el cumulante tiende a una función escalón, además, como vimos en la figura 4 a medida que aumentamos el tamaño de red, la temperatura crítica aproximada tiende a acercarse por derecha a la temperatura crítica exacta, esto se evidencia en los resultados del cumulante, donde vemos que "a groso modo" podemos decir que los cruces ocurren a la derecha de la temperatura crítica exacta (a la izquierda del valor $T_{adm}/T_{adm}^c = 1$, donde podríamos estimar que $T_{adm}/T_{adm}^c|_{exact} \sim 1,045 \Rightarrow T_{adm}^c|_{aprox} \sim 2,3713$ contra un valor exacto de $T_{adm}^c|_{exact} \sim 2,2692$. Las diferencias significativas podrían deberse a la utilización de pocos MC_{step} (se utilizaron 5000 en total y descartamos los primeros 3000 del transitorio para los cálculos).

II-E2. Exponentes críticos

Según la teoría de fenómenos críticos (que utiliza el concepto de *mean field theory*) se puede demostrar que entorno a la temperatura crítica (en las proximidades de las transiciones de fase) las propiedades de susceptibilidad magnética, calor específico, magnetización y correlaciones (longitud) están gobernadas por leyes universales con coeficientes (exponentes)

específicos, los cuales no son independientes (están correlacionados), pero lo interesante es que el comportamiento de estas magnitudes no dependen de los detalles del sistema físico sino de características generales (para sistemas ferromagnéticos dependen de la dimensión de la red, del rango de interacción y de las magnitudes de spins). En particular, se analizaron los exponentes críticos de la magnetización (en valor absoluto) y de la susceptibilidad magnética, para ello se realizaron *fitteos* de los resultados numéricos, con las propuestas de fitteo según la ecuación 5, válidas en entornos cercanos a la temperatura crítica y donde los coeficientes a, b, γ, β son parámetros de ajustes a determinar.

$$\begin{aligned} \chi_{adm} &= a \left[T_{adm}^c \left(\frac{T_{adm}}{T_{adm}^c} - 1 \right) \right]^{-\gamma} \\ M_{adm} &= b \left[T_{adm}^c \left(1 - \frac{T_{adm}}{T_{adm}^c} \right) \right]^{\beta} \end{aligned} \quad (5)$$

Los resultados obtenidos se muestran en la figura 8, donde se puede observar que el fitteo anduvo bien para determinar aproximadamente el exponente γ de la susceptibilidad magnética (obteniendo un valor $\gamma_{aprox} = 1,33$ contra un valor $\gamma_{exacto} = 1,75$), sin embargo, no fue bueno para calcular el exponente β de la magnetización (obteniendo un valor $\gamma_{aprox} = 0,0365$ contra un valor $\gamma_{exacto} = 0,125$), quizás esto pueda deberse a dos factores, por un lado al tamaño de red simulado, pues al acortar el tiempo de simulación se analizó una red pequeña de 10×10 spins, y por otro, podría deberse a los pocos MC_{step} utilizados (se utilizaron 10000 en total y descartamos los primeros 7000 del transitorio para los cálculos).

II-F. Autorrelaciones temporales

II-G. Función de autocorrelación temporal

La función de autocorrelación se define como se muestra en la ecuación 6. La misma tiene la propiedad de normalización ($A(k=0) = 1$) y para tiempos de correlación grandes la función de autocorrelación decae exponencialmente ($\tau_{corr} \rightarrow \infty \Rightarrow A(k) \rightarrow a \cdot \exp(-k/\tau_{O,exp})$), donde $\tau_{O,exp}$ es el tiempo de autocorrelación exponencial y a es alguna constante de proporcionalidad. Básicamente, las autocorrelaciones nos permiten cuantificar qué tanta información se preserva de un observable en un tiempo dado tiempo inicial y el mismo observable en un tiempo dado final donde, si esta autocorrelación es no nula, decimos que existe autocorrelación a un tiempo de correlación $\tau_{corr} = t_{final} - t_{inicial}$. Es muy importante analizar la autocorrelación debido a que el sistema no solo esta regido por correlaciones espaciales sino también por correlaciones temporales que si son significativas los errores estadísticos del observable (que está autocorrelacionado temporalmente) se verán incrementados en un factor $\sqrt{2\tau_{corr}}$ que, si el tiempo de correlación (τ_{corr}) es significativo los errores aumentan mucho, además nos sirve para cuantificar si existe alguna variable que esté relacionada dinámicamente a tiempos largos.

$$A(k) = \frac{[\langle O_i O_{i+k} \rangle - \langle O_i \rangle^2]}{[\langle (O_i)^2 \rangle - \langle O_i \rangle^2]} \quad (6)$$

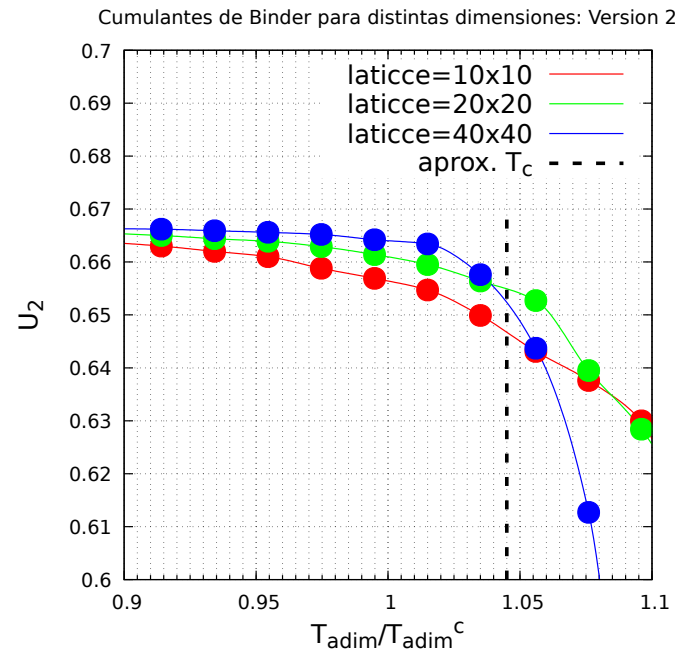
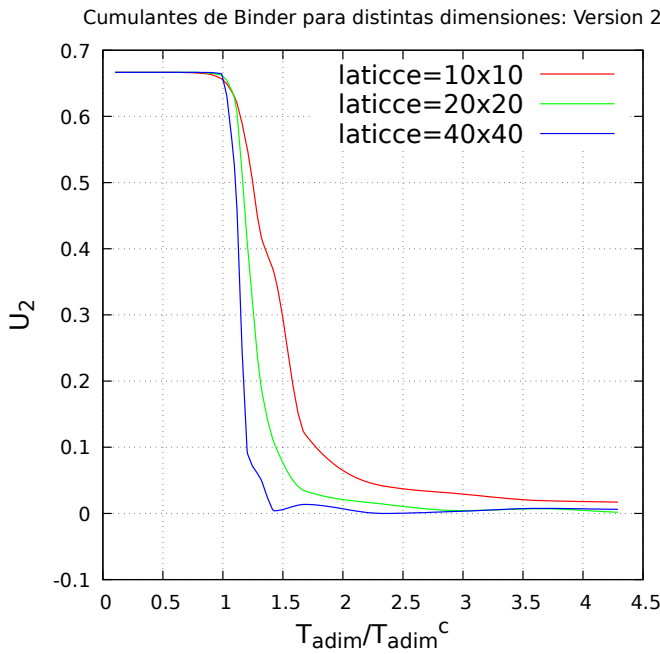
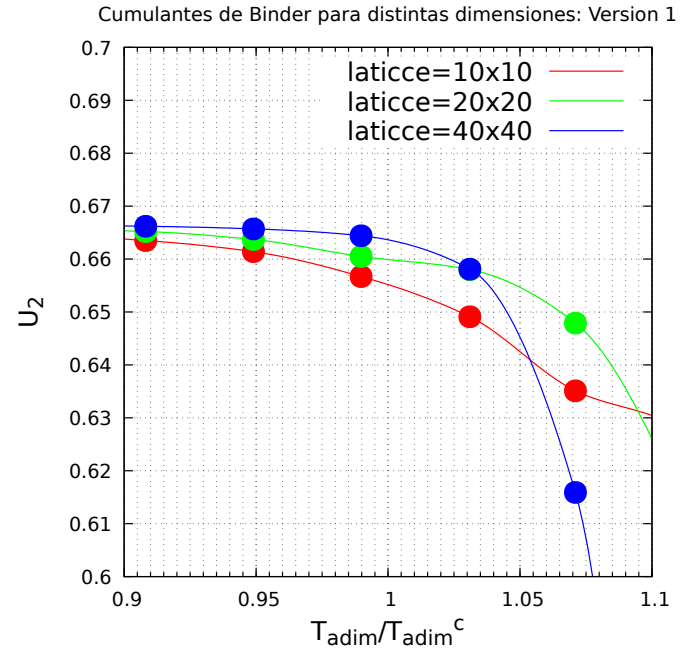
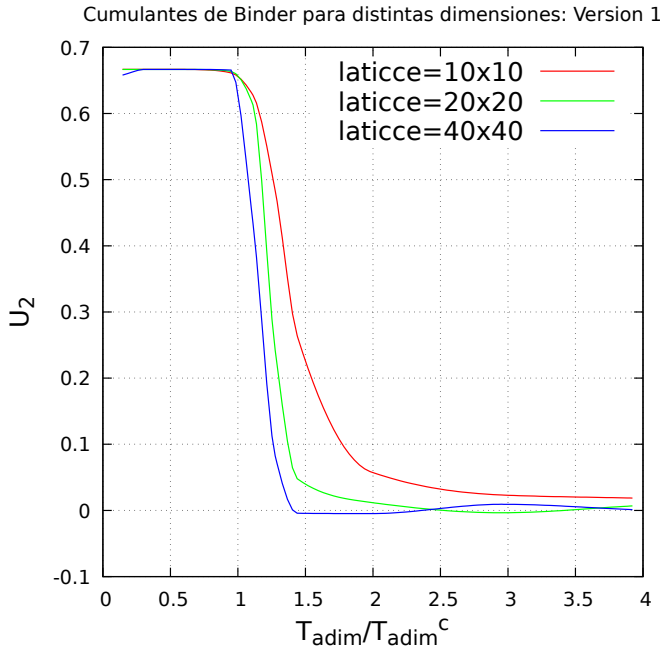


Fig. 7. Cumulante de Binder y estimación de la temperatura crítica

II-G1. ¿Cómo calculamos numéricamente la función de autocorrelación?

Listing 2: Subrutina: función autocorrelación

```

1 ! subrutina para calcular la función de
  autocorrelación
2 subroutine func_autocor(obs,time_index,tau_corr,
  num_of_terms,&
3   autocor_vector,aux_vector1,mask_vector,
  aux_vector2,&
4   obs_med,var)
5   implicit none

```

```

integer(sp), intent(in) :: time_index !
  indice del observable
integer(sp), intent(in) :: tau_corr ! tiempo
  de correlación
! menor cant de terminos admisibles (debe
  ser multiplo de tau_corr)
integer(sp), intent(in) :: num_of_terms
real(dp), intent(in) :: obs ! observable
real(dp), intent(inout) :: autocor_vector(
  tau_corr) ! vector autocorrelación
! vectores auxiliares
real(dp), intent(inout) :: aux_vector1(
  tau_corr),aux_vector2(tau_corr)

```

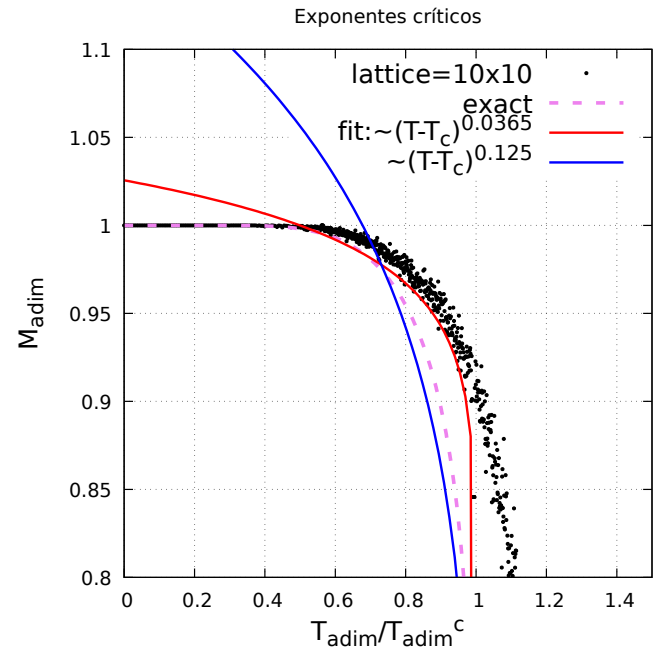
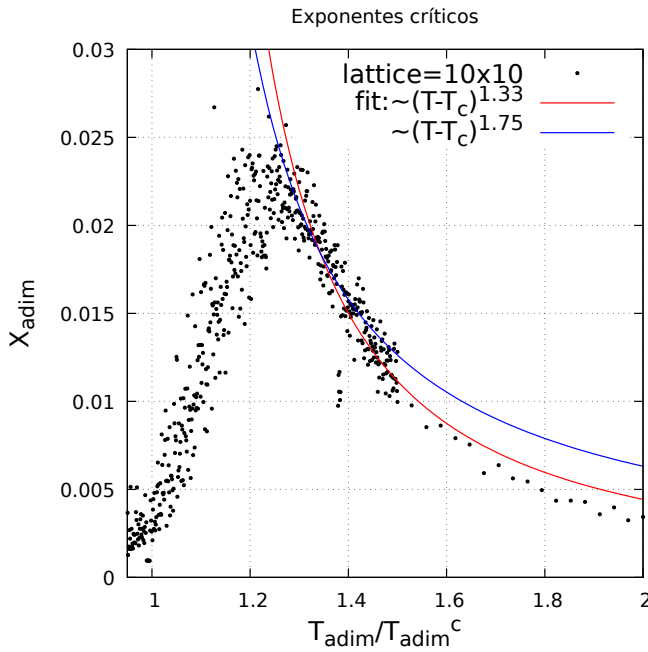



Fig. 8. Determinación aproximada de exponentes críticos

```

14      real(dp), intent(inout) :: mask_vector(
15      tau_corr) ! vector m scara
16      real(dp), intent(inout) :: obs_med,var !
17      valor medio y varianza
18      integer(sp) :: i,index ! loop indices
19      integer(sp) :: total_obs_num ! total de
20      observables que deben
21      ! calculamos valores primeros y segundos
22      momentos
23      obs_med=obs_med+obs ! primeros momentos (
24      acumulaci n)
25      var=var+obs*obs ! segundos momentos (
26      acumulaci n)
27      ! llenamos por primera vez el vector de dim=
28      tau_corr
29      if (time_index <= tau_corr) autocor_vector(
30      time_index)=obs
31      if (time_index == tau_corr) then
32      aux_vector1(:)=autocor_vector(:)
33      aux_vector2(:)=autocor_vector(:)
34      end if
35      ! determinamos total de observables que van
36      a ingresar
37      total_obs_num=num_of_terms+tau_corr
38      ! computamos las correlaciones a todo tiempo
39      if (time_index > tau_corr .and. time_index <= (
40      total_obs_num)) then
41      ! definimos el indice dentro del rango
42      [1,tau_corr]
43      if (mod(time_index,tau_corr)==0_sp) then
44      index=tau_corr
45      else; index=mod(time_index,tau_corr);end
46      if
47      aux_vector2(:)=cshift(aux_vector2(:),
48      shift=1)
49      aux_vector2(tau_corr)=obs
50      autocor_vector(index)=autocor_vector(
51      index)+&
52      dot_product(aux_vector1(:),
53      aux_vector2(:))
54      end if
55      if (mod(time_index,tau_corr)==0_sp)
56      aux_vector1(:)=aux_vector2(:)
57      end if
58      ! computamos las correlaciones faltantes
59      if (time_index==total_obs_num) then
60      mask_vector(:)=1._dp
61      aux_vector1(:)=aux_vector2(:)
62      do index=1,tau_corr-1
63      aux_vector2(:)=cshift(aux_vector2(:),
64      shift=1)
65      mask_vector(tau_corr-(index-1))=0.
66      _dp
67      aux_vector2(:)=aux_vector2(:)*
68      mask_vector(:)
69      autocor_vector(index)=autocor_vector
70      (index)+&
71      dot_product(aux_vector1(:),
72      aux_vector2(:))
73      ! promediamos en el ensamble
74      autocor_vector(index)=autocor_vector
75      (index)*&
76      (1._dp/real(num_of_terms+
77      tau_corr-index,dp))
78      end do
79      ! promediamos en el ensamble (tau_corr
80      t rminos)
81      autocor_vector(tau_corr)=autocor_vector(
82      tau_corr)*&
83      (1._dp/real(num_of_terms,dp))
84      obs_med=obs_med*(1._dp/real(
85      total_obs_num,dp)) ! primeros
86      momentos
87      var=var*(1._dp/real(total_obs_num,dp)) !
88      segundos momentos
89      var=var-obs_med*obs_med ! varianza
90      end if
91      end subroutine func_autocor

```

Para calcular la función de autocorrelación numéricamente se hizo uso de la función *shift* para crear una subrutina (ver referencia [2]), que consiste básicamente en llenar un vector con observables a un tiempo dado e ir computando en cada paso las correlaciones a todos los tiempos requeridos, de tal forma de utilizar la mayor cantidad de datos para mejorar la estadística,

aprovechándonos de la ergodicidad del sistema, para ello en el ejemplo III se muestra de forma simple cómo funciona la subrutina para un dado τ_{corr} (tiempo máximo para el cual se quiere calcular la correlación) y un dado $num\text{-}of\text{-}terms$ (numero de términos que se admiten para computar la correlación a tiempo τ_{corr}) haciendo uso de la función `shift` y definiendo vectores "máscara" para computar. Esta implementación tiene la ventaja de que se aprovechan todos los datos para computar correlaciones y aumentamos datos para mejorar la estadística. Por otro lado, las autocorrelaciones se llevaron a cabo para tamaños de $10 \times 10, 20 \times 20$ y 40×40 , para las temperaturas $T_{adim}/T_{adim}^c \sim \{0,88; 0,98; 0,99; 1,4\}$, con $\tau_{corr} = 1000$, $MC_{step} = 1010999$ (que nos aseguran que tengamos un millón de términos para calcular las funciones de autocorrelación a tiempo mil, que sabemos, es la que menos términos tiene y en consecuencia menor precisión) y un transitorio de $MC_{step}^{trans} = 10000$ y los resultados obtenidos se muestran en las figuras 9, 10, 11 y 12 donde podemos ver que la función de autocorrelación crece a medida que nos acercamos a la temperatura crítica y a medida que aumentamos el tamaño de la red de spins. Además los gráficos aumentados en escala logarítmica nos permiten ver el rápido decaimiento de la función de correlación para τ_{corr} pequeños. Por otro lado, en las figuras se pueden observar líneas punteadas que corresponden a tiempos de correlación estimados para los cuales, si las mediciones de observables de magnetización (se estimó para estas ya que, en general son mayores que para la energía) se hacen en tiempos mayores al estimado, los resultados se pueden considerar estadísticamente independientes, claro está que estos tiempos de correlación aumentan a medida que nos acercamos a la temperatura crítica y a medida que aumentamos la dimensión del sistema (es más, para el caso en que $T = 2,2676$ vemos que el tiempo de correlación excede el tiempo máximo de mil), esto es claramente un problema porque para obtener resultados (mediciones) independientes debemos correr mayor cantidad de MC_{step} (ya que el tiempo entre mediciones debe ser mayor al tiempo de correlación) lo que incrementa el coste computacional, este fenómeno se denomina *critical slowing down* y para lidiar con este se crean algoritmos que fliepan *clusters* (o grupos) de spins de forma conjunta, en lugar de un único spin.

III. EJEMPLO PARA FUNCIÓN AUTOCORRELACIÓN

```
num_of_terms=tau_corr*i con i={1,2,3,...}
obs={A1,A2,...,A(num_of_terms+tau_corr)}
+++++
si elegimos tau_corr=4 e i=2
=>num_of_terms=8;obs={A1,A2,...,A12}
+++++
paso 1
autocor_vector=[A1,A2,A3,A4]
aux_vector1=[A1,A2,A3,A4]
aux_vector2=[A1,A2,A3,A4]
+++++
paso 2 (agrego observable A5)
aux_vector2=shift[aux_vector2] y A5
=[A2,A3,A4,A1] y A5
=[A2,A3,A4,A5]
=>autocor_vector(1)=
```

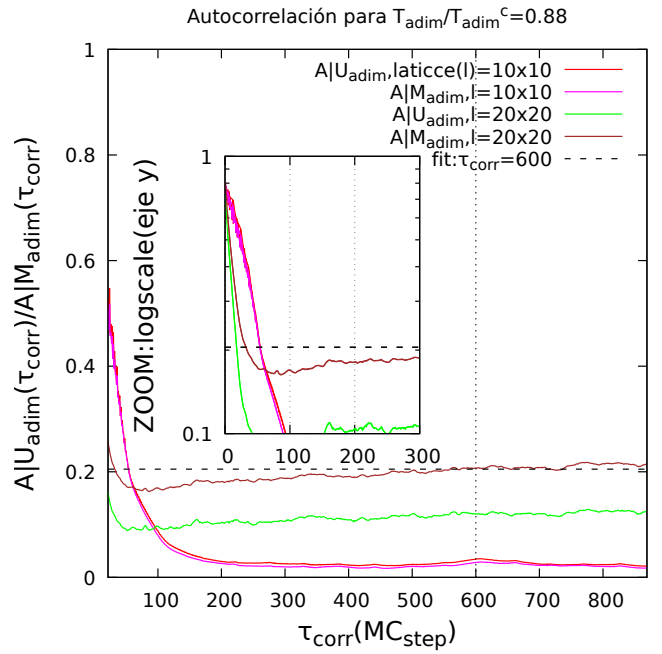


Fig. 9. Funciones de autocorrelación: $T_{adm} = 2,0$

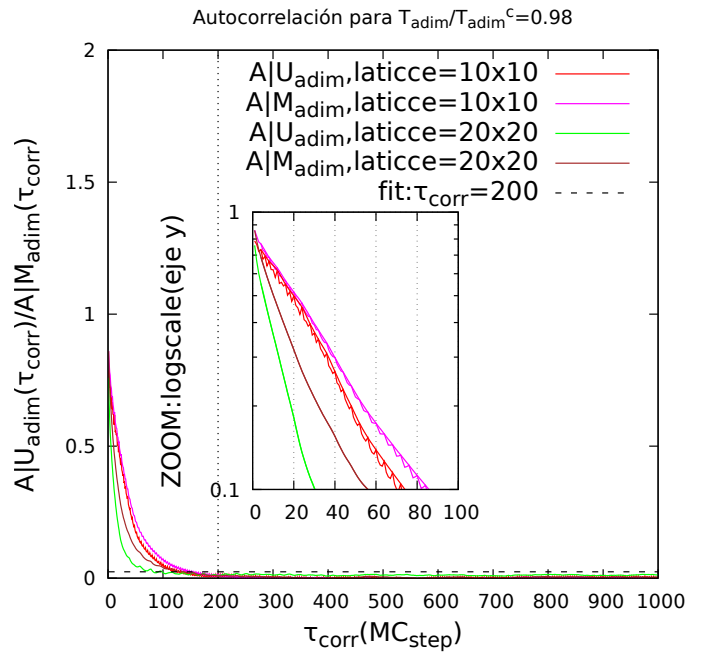


Fig. 10. Funciones de autocorrelación: $T_{adm} = 2,22$

```
=dot_product(aux_vector1*aux_vector2)
=(A1*A2+A2*A3+A3*A4+A4*A5)
+++++
paso 3 (agrego observable A6)
idem a los pasos anteriores
aux_vector2=[A3,A4,A5,A6]
=>autocor_vector(2)=
=dot_product(aux_vector1*aux_vector2)
```

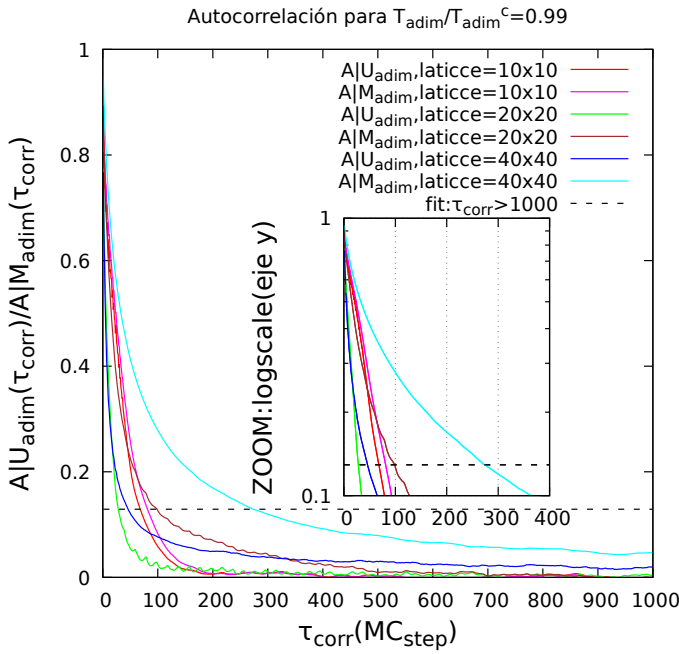


Fig. 11. Funciones de autocorrelación: $T_{adm} = 2,2676$

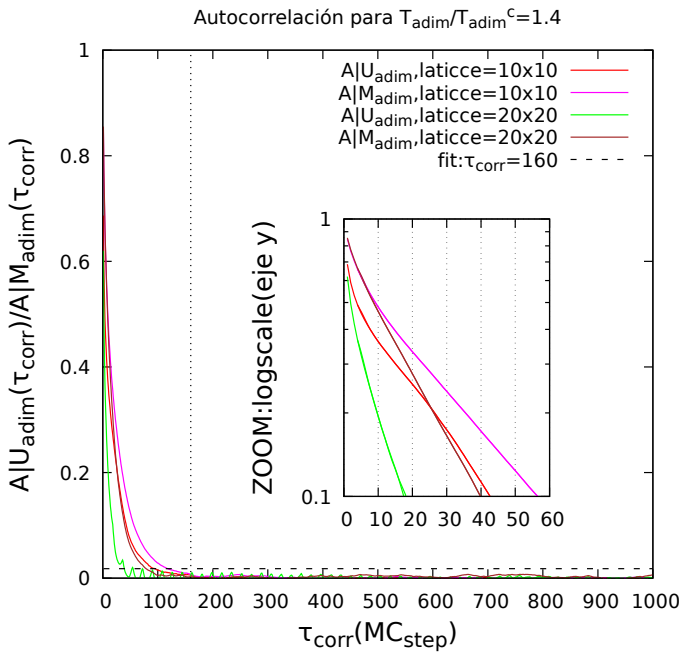


Fig. 12. Funciones de autocorrelación: $T_{adm} = 3,3$

```

= (A1*A3+A2*A4+A3*A5+A4*A6)
+++++
paso 4 (agrego observable A7)
idem a los pasos anteriores
aux_vector2=[A4,A5,A6,A7]
=>autocor_vector(3)=
=dot_product(aux_vector1*aux_vector2)
= (A1*A4+A2*A5+A3*A6+A4*A7)

```

```

+++++
paso 5 (agrego observable A8)
idem a los pasos anteriores
aux_vector2=[A5,A6,A7,A8]
=>autocor_vector(4)
=dot_product(aux_vector1*aux_vector2)
= (A1*A5+A2*A6+A3*A7+A4*A8)
+++++
Aquí, como hicimos una vuelta completa
debemos modificar los vectores auxiliares.
+++++
aux_vector1=aux_vector2
=[A5,A6,A7,A8]
+++++
paso 6 (agrego observable A9)
aux_vector2=shift[aux_vector2] y A9
=[A6,A7,A8,A9]
=>autocor_vector(1)=autocor_vector(1)
+dot_product(aux_vector1*aux_vector2)+
= (A1*A2+A2*A3+A3*A4+A4*A5+
+A5*A6+A6*A7+A7*A8+A8*A9)
+++++
paso 7 (agrego observable A10)
idem a los pasos anteriores
aux_vector2=[A7,A8,A9,A10]
=>autocor_vector(2)=autocor_vector(2)+
+dot_product(aux_vector1*aux_vector2)
= (A1*A3+A2*A4+A3*A5+
+A4*A6+A5*A7+A6*A8+A7*A9+A8*A10)
...
+++++
paso 9 (agrego observable A12)
idem a los pasos anteriores
aux_vector2=[A9,A10,A11,A12]
=>autocor_vector(4)=autocor_vector(4)+
+dot_product(aux_vector1*aux_vector2)
= (A1*A5+A2*A6+A3*A7+A4*A8+
+A5*A9+A6*A10+A7*A11+A8*A12)
+++++
Finalmente computamos los términos
no directos para los términos
autocor_vector(i) con i<4
+++++
paso 10 (recolecto datos faltantes)
mask=[1,1,1,1]
aux_vector1=aux_vector2
=[A9,A10,A11,A12]
paso 10.1
aux_vector2=shift[aux_vector2]
=[A10,A11,A12,A9]
mask=[1,1,1,0]
aux_vector2=aux_vector2*mask
=[A10,A11,A12,0]
=>autocor_vector(1)=autocor_vector(1)+
+dot_product(aux_vector1*aux_vector2)
= (A1*A2+A2*A3+A3*A4+A4*A5+A5*A6+A6*A7+
+A7*A8+A8*A9+A9*A10+A10*A11+A11*A12)

```

```

paso 10.1
idem a los pasos anteriores
aux_vector2=[A11,A12,0,A10]
mask=[1,1,0,0]
aux_vector2=aux_vector2*mask
           =[A11,A12,0,0]
=>autocor_vector(2)=autocor_vector(2)+
   +dot_product(aux_vector1*aux_vector2)
   =(A1*A3+A2*A4+A3*A5+A4*A6+A5*A7+
     +A6*A7+A8*A10+A9*A11+A10*A12)
...

```

IV. CÓDIGOS

Repositorio de GitHub

- <https://github.com/mendzmartin/fiscomp2022.git>

Repositorio GitHub del problema

- <https://github.com/mendzmartin/fiscomp2022/tree/main/lab04>

Códigos principales y Makefile

- https://github.com/mendzmartin/fiscomp2022/blob/main/lab04/prob01/code/ising_ferromagnetic_model_01.f90
- https://github.com/mendzmartin/fiscomp2022/blob/main/lab04/prob01/code/ising_ferromagnetic_model_02.f90
- https://github.com/mendzmartin/fiscomp2022/blob/main/lab04/prob01/code/ising_ferromagnetic_model_03.f90
- https://github.com/mendzmartin/fiscomp2022/blob/main/lab04/prob01/code/ising_ferromagnetic_model_04.f90
- https://github.com/mendzmartin/fiscomp2022/blob/main/lab04/prob01/code/ising_ferromagnetic_model_05.f90
- https://github.com/mendzmartin/fiscomp2022/blob/main/lab04/prob01/code/ising_ferromagnetic_model_06.f90
- <https://github.com/mendzmartin/fiscomp2022/blob/main/lab04/prob01/code/Makefile>

Módulos utilizados

- https://github.com/mendzmartin/fiscomp2022/blob/main/modules/module_2D_ferromagnetic_ising.f90
- https://github.com/mendzmartin/fiscomp2022/blob/main/modules/module_mt19937.f90
- https://github.com/mendzmartin/fiscomp2022/blob/main/modules/module_mzran.f90
- https://github.com/mendzmartin/fiscomp2022/blob/main/modules/module_random_generator.f90
- https://github.com/mendzmartin/fiscomp2022/blob/main/modules/module_precision.f90

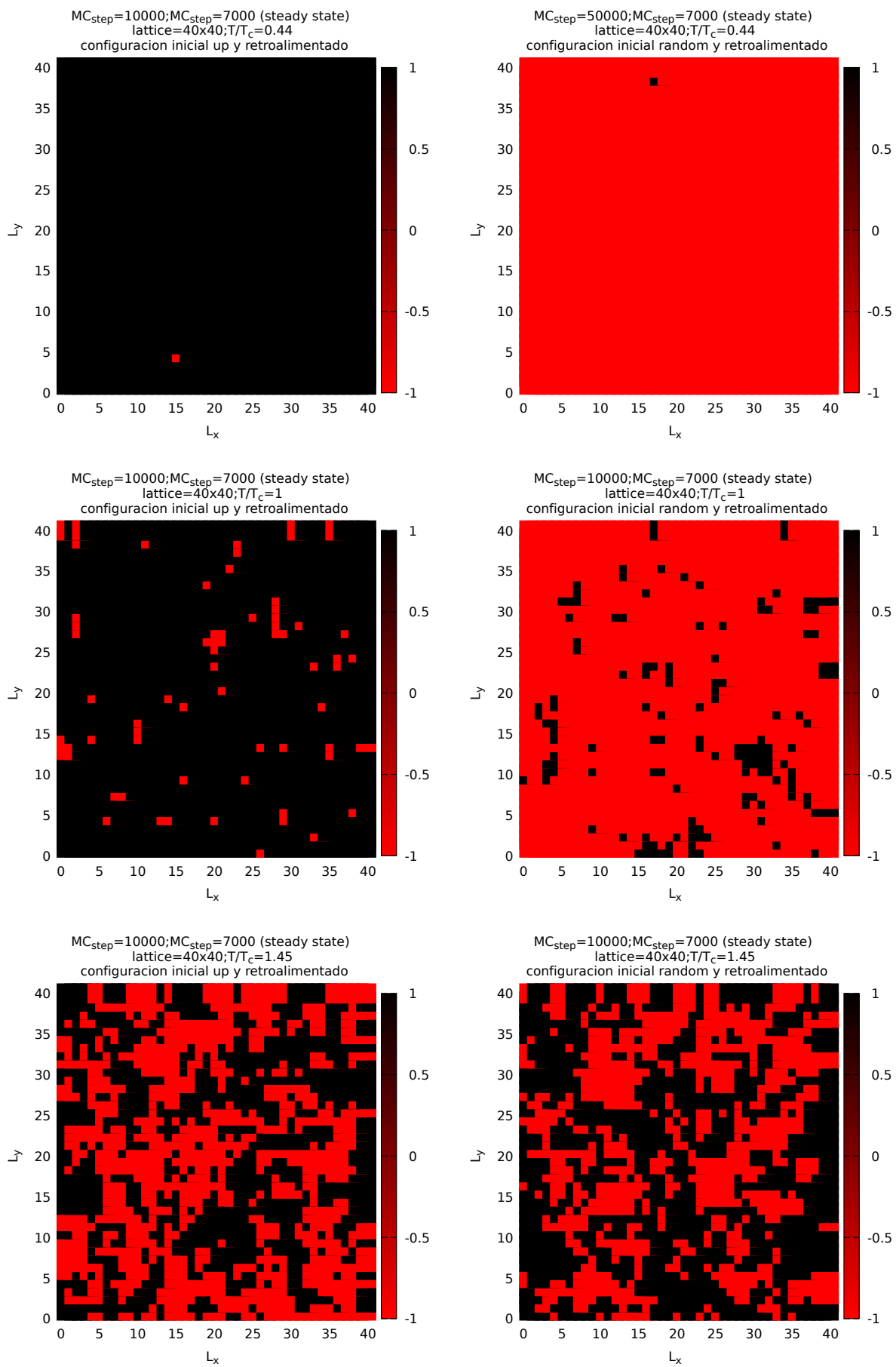


Fig. 13. Configuraciones de spins para distintas temperaturas

Laboratorio 04 - Problema 01 - Códigos

ising_ferromagnetic_model_01.f90

```

1  ! Programa para resolver el inciso a)
2  ! (primero se uso el ising_ferromagnetic_model_03.f90 para determinar MC_step_trans)
3  ! make clean && make ising_ferromagnetic_model_01.o && ./ising_ferromagnetic_model_01.o
4  program ising_ferromagnetic_model_01
5      use module_precision; use module_2D_ferromagnetic_ising
6      implicit none
7
8      integer(sp), parameter :: n=40_sp, m=10_sp                ! sitios de red por dimension
9      integer(sp), parameter :: MC_step=10000_sp, MC_step_trans=3000_sp ! Monte Carlo step total and transitory
10     real(dp), parameter :: Tc_adim=2.2676_dp                ! temperatura de Curie adimensional
11     integer(sp), allocatable :: aux_matrix_pbc(:, :)
12     integer(sp) :: i, j, istat
13     real(dp) :: Madim, U_adim
14
15     allocate(aux_matrix_pbc(n+2, n+2))
16
17     !call initial_spins_configuration(2_sp, n, aux_matrix_pbc) ! genero configuracion inicial random
18     call initial_spins_configuration(1_sp, n, aux_matrix_pbc) ! genero configuracion inicial todos up
19
20     ! calculamos energía interna (configuración inicial)
21     call average_energy(aux_matrix_pbc, n, U_adim)
22     ! calculamos magnetización inicial
23     Madim=M_adim(aux_matrix_pbc, n)
24
25     ! temperaturas de equilibrio
26     !T0=1; T1=2.2; T2=2.2676; T3=3.3
27
28     21 format(2(A12, x), A12)
29
30     open(10, file='../results/result_01a_T=1_up.dat', status='replace', action='write', iostat=istat) ! ordenado
31     !open(10, file='../results/result_01a_T=1_rnd.dat', status='replace', action='write', iostat=istat) ! desordenado
32     write(*, *) 'istat(10file) = ', istat
33     write(10, 21) 'MC_step', 'U_adim', 'M_adim'
34     call ising_relax(n, MC_step, MC_step_trans, m, 10, aux_matrix_pbc, 0._dp, 1._dp, Tc_adim, U_adim, Madim)
35     close(10)
36
37     ! mostramos mapa de spins antes de Tc
38     open(50, file='../results/result_01a_spinmap_T=1.dat', status='replace', action='write', iostat=istat)
39     write(*, *) 'istat(50file) = ', istat
40     do j=2, n+1; do i=2, n+1
41         write(50, ' (2(I5, x), I5)') i-1, j-1, aux_matrix_pbc(i, j)
42     end do; end do
43     close(50)
44
45     open(11, file='../results/result_01a_T=2_up.dat', status='replace', action='write', iostat=istat) ! ordenado
46     !open(11, file='../results/result_01a_T=2_rnd.dat', status='replace', action='write', iostat=istat) ! desordenado
47     write(*, *) 'istat(11file) = ', istat
48     write(11, 21) 'MC_step', 'U_adim', 'M_adim'
49     call ising_relax(n, MC_step, MC_step_trans, m, 11, aux_matrix_pbc, 1.1_dp, 2._dp, Tc_adim, U_adim, Madim)
50     close(11)
51
52     open(12, file='../results/result_01a_T=Tc_up.dat', status='replace', action='write', iostat=istat) ! ordenado
53     !open(12, file='../results/result_01a_T=Tc_rnd.dat', status='replace', action='write', iostat=istat) ! desordenado
54     write(*, *) 'istat(12file) = ', istat
55     write(12, 21) 'MC_step', 'U_adim', 'M_adim'
56     call ising_relax(n, MC_step, MC_step_trans, m, 12, aux_matrix_pbc, 2.1_dp, Tc_adim, Tc_adim, U_adim, Madim)
57     close(12)
58
59     ! mostramos mapa de spins en Tc
60     open(50, file='../results/result_01a_spinmap_T=Tc.dat', status='replace', action='write', iostat=istat)
61     write(*, *) 'istat(50file) = ', istat
62     do j=2, n+1; do i=2, n+1
63         write(50, ' (2(I5, x), I5)') i-1, j-1, aux_matrix_pbc(i, j)
64     end do; end do
65     close(50)
66
67
68     open(13, file='../results/result_01a_T=3.3_up.dat', status='replace', action='write', iostat=istat) ! ordenado
69     !open(13, file='../results/result_01a_T=3.3_rnd.dat', status='replace', action='write', iostat=istat) ! desordenado
70     write(*, *) 'istat(13file) = ', istat
71     write(13, 21) 'MC_step', 'U_adim', 'M_adim'
72     call ising_relax(n, MC_step, MC_step_trans, m, 13, aux_matrix_pbc, Tc_adim+0.1_dp, 3.3_dp, Tc_adim, U_adim, Madim)
73     close(13)
74
75     ! mostramos mapa de spins luego de Tc
76     open(50, file='../results/result_01a_spinmap_T=3.3.dat', status='replace', action='write', iostat=istat)
77     write(*, *) 'istat(50file) = ', istat
78     do j=2, n+1; do i=2, n+1
79         write(50, ' (2(I5, x), I5)') i-1, j-1, aux_matrix_pbc(i, j)
80     end do; end do
81     close(50)

```



```

82
83     deallocate(aux_matrix_pbc)
84 end program ising_ferromagnetic_model_01
85
86 subroutine ising_relax(n,MC_step,MC_step_trans,m,file_num,aux_matrix_pbc,T_start,T_end,Tc_adim,U_adim,Madim)
87 use module_precision;use module_2D_ferromagnetic_ising
88 implicit none
89 real(dp), intent(in)      :: T_end,T_start,Tc_adim
90 integer(sp), intent(in)    :: n,m,file_num,MC_step,MC_step_trans
91 integer(sp), intent(inout) :: aux_matrix_pbc(n+2,n+2)
92 real(dp), intent(inout)   :: U_adim,Madim
93 integer(sp)               :: i,j
94 real(dp)                 :: T_step,T_adim
95 real(dp)                 :: U_med_adim,sigma_U,error_U
96 real(dp)                 :: M_med_adim,sigma_M,error_M
97 real(dp)                 :: s0,s1_U,s2_U,s1_M,s2_M ! variables para hacer estadística
98
99 20 format(I12,x,E12.4,x,E12.4)
100 T_step=abs(T_end-T_start)*(1._dp/real(m-1_sp,dp))
101 ! termalizo hasta una temperatura anterior a la buscada
102 do j=1,m-1
103     T_adim=T_start+T_step*real(j-1_sp,dp)
104     write(*,'(A12,E12.4)') 'T_adim=',T_adim
105     do i=1,MC_step
106         call MC_step_relaxation(1_sp,n,aux_matrix_pbc,T_adim,U_adim)
107     end do
108 end do
109 ! termalizo a la temperatura buscada
110 write(*,'(A12,E12.4)') 'T_adim=',T_end
111 s0=0._dp;s1_U=0._dp;s2_U=0._dp;s1_M=0._dp;s2_M=0._dp
112 do i=1,MC_step
113     call MC_step_relaxation(1_sp,n,aux_matrix_pbc,T_end,U_adim)
114     Madim=M_adim(aux_matrix_pbc,n) ! Magnetización
115     ! datos para hacer estadística en steady state
116     if (i>=MC_step_trans) then
117         s0=s0+1._dp
118         s2_U=s2_U+U_adim*U_adim;s1_U=s1_U+U_adim ! energía
119         s2_M=s2_M+Madim*Madim;s1_M=s1_M+Madim ! magnetización
120     end if
121     write(file_num,20) i,U_adim,Madim
122 end do
123
124 !calculamos media,desviacion estándar, varianza y error
125 U_med_adim=s1_U*(1._dp/s0)
126 sigma_U=sqrt((s2_U-s0*U_med_adim*U_med_adim)*(1._dp/(s0-1._dp)))
127 error_U=sigma_U*(1._dp/sqrt(s0-1._dp))
128 M_med_adim=s1_M*(1._dp/s0)
129 sigma_M=sqrt((s2_M-s0*M_med_adim*M_med_adim)*(1._dp/(s0-1._dp)))
130 error_M=sigma_M*(1._dp/sqrt(s0-1._dp))
131
132 write(*,'(A9,I2,A2,I2)') 'Lattice=',n,'x',n
133 write(*,'(A14,E12.4)') 'M_exact_adim=',M_exact_adim(n,T_end,Tc_adim)
134 write(*,'(2(A14,E12.4))') 'M_med_adim=',M_med_adim,'error_M',error_M
135 write(*,'(2(A14,E12.4))') 'U_med_adim=',U_med_adim,'error_U',error_U
136
137 end subroutine ising_relax

```

ising_ferromagnetic_model_02.f90

```

1  ! P01.b (TyMEII G04.P16;G04.P02)
2  ! make clean && make ising_ferromagnetic_model_02.o && ./ising_ferromagnetic_model_02.o
3  program ising_ferromagnetic_model_02
4  use module_precision;use module_2D_ferromagnetic_ising
5  implicit none
6
7  integer(sp), parameter :: n=40_sp ! sitios de red por dimension
8  integer(sp), parameter :: MC_step=15000_sp,MC_step_trans=8000_sp ! Monte Carlo step total and transitory
9  integer(sp), parameter :: m1=50_sp,m2=100_sp ! puntos p/ mallado fino y grueso
10 real(dp), parameter :: Tmin_adim=0._dp,Tmax_adim=10._dp ! temperatura adimensional
11 real(dp), parameter :: Tc_adim=2.2676_dp ! temperatura de Curie adimensional
12 real(dp), parameter :: deltaT_adim=2.2676_dp*0.5_dp ! intervalo para incrementar pto
13 integer(sp), allocatable :: aux_matrix_pbc(:, :)
14 integer(sp) :: i,istat
15 real(dp) :: U_adim,U_med_adim,sigma_U,error_U ! Energía interna
16 real(dp) :: Madim,M_med_adim,sigma_M,error_M,Mexact ! Magenitación
17 real(dp) :: susc_adim ! Susceptibilidad magnética
18 real(dp) :: cv ! calor específico
19 real(dp) :: binder_cumulant ! cumulante de Binder
20 real(dp) :: T_adim,T_step1,T_step2
21 real(dp) :: time_start,time_end ! tiempos de CPU
22
23 open(10,file='../results/result_01b_07_40x40_v2.dat',status='replace',action='write',iostat=istat)
24 !open(10,file='../results/result_01b_07_40x40_osc_magne.dat',status='replace',action='write',iostat=istat)
25 write(*,*) 'istat(10file) = ',istat
26 21 format(8(A12,x),A12);write(10,21) 'T/Tc','U_med','U_error','M_med','M_error','Mexact','cv','susc','Binder'
27 20 format(8(E12.4,x),E12.4)

```

```

28
29   call cpu_time(time_start)
30
31   allocate(aux_matrix_pbc(n+2,n+2))
32   ! genero configuracion inicial (random,descorrelacionada)
33   call initial_spins_configuration(1_sp,n,aux_matrix_pbc)
34   ! calculamos energía interna (configuración inicial)
35   call average_energy(aux_matrix_pbc,n,U_adim)
36   ! calculamos magnetización inicial
37   Madim=M_adim(aux_matrix_pbc,n)
38
39   ! mallado grueso
40   do i=1,m1
41       T_step1=abs(Tc_adim-deltaT_adim-Tmin_adim)*(1._dp/real(m1-1,dp))
42       T_adim=Tmin_adim+T_step1*real(i-1,dp)
43       call rlx_ising(n,aux_matrix_pbc,MC_step,MC_step_trans,T_adim,Tc_adim,&
44           U_adim,U_med_adim,sigma_U,error_U,&
45           Madim,M_med_adim,sigma_M,error_M,Mexact,&
46           susc_adim,cv,binder_cumulant)
47       write(10,20) T_adim*(1._dp/Tc_adim),U_med_adim,error_U,&
48           M_med_adim,error_M,Mexact,cv,susc_adim,binder_cumulant
49       write(*,*) i
50   end do
51
52   ! mallado fino
53   do i=1,m2
54       T_step2=2_dp*deltaT_adim*(1._dp/real(m2-1,dp))
55       T_adim=(Tc_adim-deltaT_adim)+T_step2*real(i-1,dp)
56       call rlx_ising(n,aux_matrix_pbc,MC_step,MC_step_trans,T_adim,Tc_adim,&
57           U_adim,U_med_adim,sigma_U,error_U,&
58           Madim,M_med_adim,sigma_M,error_M,Mexact,&
59           susc_adim,cv,binder_cumulant)
60       write(10,20) T_adim*(1._dp/Tc_adim),U_med_adim,error_U,&
61           M_med_adim,error_M,Mexact,cv,susc_adim,binder_cumulant
62       write(*,*) i+m1
63   end do
64
65   ! mallado grueso
66   do i=1,m1
67       T_step1=abs(Tmax_adim-(Tc_adim+deltaT_adim))*(1._dp/real(m1-1,dp))
68       T_adim=(Tc_adim-deltaT_adim)+T_step1*real(i-1,dp)
69       call rlx_ising(n,aux_matrix_pbc,MC_step,MC_step_trans,T_adim,Tc_adim,&
70           U_adim,U_med_adim,sigma_U,error_U,&
71           Madim,M_med_adim,sigma_M,error_M,Mexact,&
72           susc_adim,cv,binder_cumulant)
73       write(10,20) T_adim*(1._dp/Tc_adim),U_med_adim,error_U,&
74           M_med_adim,error_M,Mexact,cv,susc_adim,binder_cumulant
75       write(*,*) i+m1+m2
76   end do
77
78   close(10)
79   deallocate(aux_matrix_pbc)
80
81   call cpu_time(time_end); write(*,*) 'elapsed time = ',(time_end-time_start)
82 end program ising_ferromagnetic_model_02
83
84 subroutine rlx_ising(n,aux_matrix_pbc,MC_step,MC_step_trans,T_adim,Tc_adim,&
85     U_adim,U_med_adim_mom,sigma_U_mom,error_U_mom,&
86     Madim,M_med_adim_mom,sigma_M_mom,error_M_mom,Mexact,&
87     susc_adim,cv,binder_cumulant)
88 use module_precision;use module_2D_ferromagnetic_ising
89 implicit none
90
91 integer(sp), intent(in)    :: n,MC_step,MC_step_trans
92 real(dp),   intent(in)    :: T_adim,Tc_adim
93 integer(sp), intent(inout) :: aux_matrix_pbc(n+2,n+2)
94 real(dp),   intent(inout) :: U_adim,U_med_adim_mom,sigma_U_mom,error_U_mom ! Energía interna
95 real(dp),   intent(inout) :: Madim,M_med_adim_mom,sigma_M_mom,error_M_mom,Mexact ! Magnetización
96 real(dp),   intent(inout) :: susc_adim ! Susceptibilidad magnética
97 real(dp),   intent(inout) :: cv ! calor específico
98 real(dp),   intent(inout) :: binder_cumulant
99
100 integer(sp), parameter :: m_exp=50_sp ! numero de experimentos
101 real(dp) :: s0,s1_U,s2_U,s1_M,s2_M,s4_M ! variables para hacer estadística
102 real(dp) :: s4_M_mom,s2_M_mom,s2_U_mom,sigma_U_mom_v2
103 integer(sp) :: i,j
104 real(dp), allocatable :: U_med_adim_vector(:),M_med_adim_vector(:)
105
106 allocate(U_med_adim_vector(m_exp),M_med_adim_vector(m_exp))
107 s0=real(MC_step-MC_step_trans,dp)
108
109 s4_M_mom=0._dp;s2_M_mom=0._dp;s2_U_mom=0._dp;sigma_U_mom_v2=0._dp
110 do j=1,m_exp
111     s1_U=0._dp;s2_U=0._dp;s1_M=0._dp;s2_M=0._dp;s4_M=0._dp
112     do i=1,MC_step
113         call MC_step_relaxation(1_sp,n,aux_matrix_pbc,T_adim,U_adim)
114         Madim=M_adim(aux_matrix_pbc,n) ! Magnetización

```

```

115      ! datos para hacer estadística en steady state
116      if (i>=MC_step_trans) then
117          s2_U=s2_U+U_adim*U_adim;s1_U=s1_U+U_adim ! primer y segundo momento energía
118          s2_M=s2_M+Madim*Madim;s1_M=s1_M+Madim ! primer y segundo momento magnetización
119          s4_M=s4_M+Madim*Madim*Madim*Madim ! cuarto momento magnetización
120      end if
121  end do
122      ! calculamos valores medios
123      U_med_adim_vector(j)=s1_U*(1._dp/s0)
124      M_med_adim_vector(j)=s1_M*(1._dp/s0)
125      s4_M_mom=s4_M_mom+s4_M*(1._dp/s0);s2_M_mom=s2_M_mom+s2_M*(1._dp/s0)
126      s2_U_mom=s2_U_mom+s2_U*(1._dp/s0)
127  end do
128
129      ! calculamos media de medias,desviacion estándar, varianza y error
130      U_med_adim_mom=(1._dp/real(m_exp,dp))*sum(U_med_adim_vector(:))
131      sigma_U_mom_v2=sqrt(real(m_exp,dp)*s2_U_mom-sum(U_med_adim_vector(:))*sum(U_med_adim_vector(:))*&
132          (1._dp/(real(m_exp,dp)*real(m_exp-1,dp))))
133      U_med_adim_vector(:)=(U_med_adim_vector(:)-U_med_adim_mom)
134      U_med_adim_vector(:)=U_med_adim_vector(:)*U_med_adim_vector(:)
135      sigma_U_mom=sqrt((1._dp/real(m_exp,dp))*sum(U_med_adim_vector(:)))
136      error_U_mom=sigma_U_mom*(1._dp/sqrt(real(m_exp,dp)))
137
138      M_med_adim_mom=(1._dp/real(m_exp,dp))*sum(M_med_adim_vector(:))
139      M_med_adim_vector(:)=(M_med_adim_vector(:)-M_med_adim_mom)
140      M_med_adim_vector(:)=M_med_adim_vector(:)*M_med_adim_vector(:)
141      sigma_M_mom=sqrt((1._dp/real(m_exp,dp))*sum(M_med_adim_vector(:)))
142      error_M_mom=sigma_M_mom*(1._dp/sqrt(real(m_exp,dp)))
143      if (T_adim==0._dp) then;cv=0._dp;susc_adim=0._dp
144      else
145          ! cv=(1._dp/T_adim)*sigma_U_mom*sigma_U_mom
146          cv=(1._dp/T_adim)*sigma_U_mom_v2*sigma_U_mom_v2
147          susc_adim=(1._dp/T_adim)*sigma_M_mom*sigma_M_mom
148      end if
149      Mexact=M_exact_adim(n,T_adim,Tc_adim)
150      binder_cumulant=1._dp-real(m_exp,dp)*s4_M_mom*(1._dp/(3._dp*s2_M_mom*s2_M_mom))
151
152      deallocate(U_med_adim_vector,M_med_adim_vector)
153
154  end subroutine rlx_ising

```

ising_ferromagnetic_model_03.f90

```

1  ! Programa para determinar el tiempo de termalización
2  ! se realizan corridas del método de MC "metropolis" para distintas temperaturas
3  ! tanto cerca como lejos de la temperatura crítica.
4  ! make clean && make ising_ferromagnetic_model_03 o && ./ising_ferromagnetic_model_03.o
5  program ising_ferromagnetic_model_03
6      use module_precision;use module_2D_ferromagnetic_ising
7      implicit none
8
9      integer(sp), parameter :: MC_step=10000_sp ! Monte Carlo step total and transitory
10     integer(sp), parameter :: type_analysis=1_sp
11     real(dp), parameter :: Tc_adim=2.2676_dp ! temperatura de Curie adimensional
12     integer(sp), allocatable :: aux_matrix_pbc(:, :)
13     integer(sp) :: n=40_sp ! sitios de red por dimension
14     integer(sp) :: istat,m ! cantidad puntos para definir el paso de temperaturas
15     real(dp) :: Madim,U_adim
16
17     21 format(2(A12,x),A12)
18
19     select case (type_analysis)
20     case(1) ! termalizar hasta varias temperaturas (según pide el inciso b)
21         ! temperaturas de equilibrio
22         !T0=1;T1=2.2;T2=2.2676;T3=3.3
23         n=40_sp;m=10_sp
24         allocate(aux_matrix_pbc(n+2,n+2))
25         ! genero configuracion inicial random
26         call initial_spins_configuration(1_sp,n,aux_matrix_pbc)
27         ! calculamos energía interna (configuración inicial)
28         call average_energy(aux_matrix_pbc,n,U_adim)
29         ! calculamos magnetización inicial
30         Madim=M_adim(aux_matrix_pbc,n)
31
32         open(10,file='../results/result_01a_MCS_trans_T0.dat',status='replace',action='write',iostat=istat)
33         write(*,*) 'istat(10file) = ',istat
34         write(10,21) 'MC_step','U_adim','M_adim'
35         call ising_relax(n,MC_step,m,10,aux_matrix_pbc,0._dp,1._dp,U_adim,Madim)
36         close(10)
37
38         open(11,file='../results/result_01a_MCS_trans_T1.dat',status='replace',action='write',iostat=istat)
39         write(*,*) 'istat(11file) = ',istat
40         write(11,21) 'MC_step','U_adim','M_adim'
41         call ising_relax(n,MC_step,m,11,aux_matrix_pbc,1.1_dp,2._dp,U_adim,Madim)
42         close(11)
43

```

```

44     open(12,file='../results/result_01a_MCS_trans_T2.dat',status='replace',action='write',iostat=istat)
45     write(*,*) 'istat(12file) = ',istat
46     write(12,21) 'MC_step','U_adim','M_adim'
47     call ising_relax(n,MC_step,m,12,aux_matrix_pbc,2.1_dp,Tc_adim,U_adim,Madim)
48     close(12)
49
50     open(13,file='../results/result_01a_MCS_trans_T3.dat',status='replace',action='write',iostat=istat)
51     write(*,*) 'istat(13file) = ',istat
52     write(13,21) 'MC_step','U_adim','M_adim'
53     call ising_relax(n,MC_step,m,13,aux_matrix_pbc,Tc_adim+0.1_dp,3.3_dp,U_adim,Madim)
54     close(13)
55
56     deallocate(aux_matrix_pbc)
57 case(2) ! termalizar hasta una temperatura fija (para analizar efectos de tamaño)
58     ! Tc1=1.19Tc;Tc2=1.115Tc;Tc3=1.118Tc
59
60     m=10_sp;n=10_sp;allocate(aux_matrix_pbc(n+2,n+2))
61     call initial_spins_configuration(1_sp,n,aux_matrix_pbc)
62     call average_energy(aux_matrix_pbc,n,U_adim);Madim=M_adim(aux_matrix_pbc,n)
63     open(14,file='../results/result_01b_T=Tcaprox_10x10_osc_magne.dat',status='replace',action='write',iostat=istat)
64     write(*,*) 'istat(14file) = ',istat;write(14,21) 'MC_step','U_adim','M_adim'
65     call ising_relax(n,MC_step,m,14,aux_matrix_pbc,0._dp,Tc_adim*1.19_dp,U_adim,Madim)
66     close(14);deallocate(aux_matrix_pbc)
67
68     n=20_sp;allocate(aux_matrix_pbc(n+2,n+2))
69     call initial_spins_configuration(1_sp,n,aux_matrix_pbc)
70     call average_energy(aux_matrix_pbc,n,U_adim);Madim=M_adim(aux_matrix_pbc,n)
71     open(15,file='../results/result_01b_T=Tcaprox_20x20_osc_magne.dat',status='replace',action='write',iostat=istat)
72     write(*,*) 'istat(15file) = ',istat;write(15,21) 'MC_step','U_adim','M_adim'
73     call ising_relax(n,MC_step,m,15,aux_matrix_pbc,0._dp,Tc_adim*1.115_dp,U_adim,Madim)
74     close(15);deallocate(aux_matrix_pbc)
75
76     n=40_sp;allocate(aux_matrix_pbc(n+2,n+2))
77     call initial_spins_configuration(1_sp,n,aux_matrix_pbc)
78     call average_energy(aux_matrix_pbc,n,U_adim);Madim=M_adim(aux_matrix_pbc,n)
79     open(16,file='../results/result_01b_T=Tcaprox_40x40_osc_magne.dat',status='replace',action='write',iostat=istat)
80     write(*,*) 'istat(16file) = ',istat;write(16,21) 'MC_step','U_adim','M_adim'
81     call ising_relax(n,MC_step,m,16,aux_matrix_pbc,0._dp,Tc_adim*1.115_dp,U_adim,Madim)
82     close(16);deallocate(aux_matrix_pbc)
83
84 end select
85
86 end program ising_ferromagnetic_model_03
87
88 subroutine ising_relax(n,MC_step,m,file_num,aux_matrix_pbc,T_start,T_end,U_adim,Madim)
89     use module_precision;use module_2D_ferromagnetic_ising
90     implicit none
91     real(dp), intent(in) :: T_end,T_start
92     integer(sp), intent(in) :: n,m,file_num,MC_step
93     integer(sp), intent(inout) :: aux_matrix_pbc(n+2,n+2)
94     real(dp), intent(inout) :: U_adim,Madim
95     integer(sp) :: i,j
96     real(dp) :: T_step,T_adim
97
98     20 format(I12,x,E12.4,x,E12.4)
99
100     bucle_01: do j=1,m ! cantidad de Temperaturas diferentes
101         T_step=abs(T_end-T_start)*(1._dp/real(m-1_sp,dp))
102         T_adim=T_start+T_step*real(j-1_sp,dp)
103         write(*,'(A12,E12.4)') 'T_adim=',T_adim
104         do i=1,MC_step
105             call MC_step_relaxation(1_sp,n,aux_matrix_pbc,T_adim,U_adim)
106             Madim=M_adim(aux_matrix_pbc,n) ! Magnetización
107             if (j==m) write(file_num,20) i,U_adim,Madim
108         end do
109     end do bucle_01
110 end subroutine ising_relax

```

ising_ferromagnetic_model_04.f90

```

1  ! Programa para calcular histogramas (inciso c)
2  ! make clean && make ising_ferromagnetic_model_04.o && ./ising_ferromagnetic_model_04.o
3  program ising_ferromagnetic_model_04
4      use module_precision;use module_2D_ferromagnetic_ising
5      implicit none
6
7      integer(sp), parameter :: MC_step=10000_sp,MC_step_rlx=3000_sp ! Monte Carlo step total and transitory
8      real(dp), parameter :: Tc_adim=2.2692_dp ! temperatura de Curie adimensional
9      integer(sp), allocatable :: aux_matrix_pbc(:, :)
10     real(dp), allocatable :: Madim_vector(:) ! vector de magnetización para histograma
11     integer(sp) :: n ! sitios de red por dimension
12     integer(sp) :: m ! cantidad puntos para definir el paso de temperaturas
13     real(dp) :: Madim,U_adim
14
15
16     m=10_sp;n=10_sp;allocate(aux_matrix_pbc(n+2,n+2));allocate(Madim_vector(MC_step-MC_step_rlx))
17     call initial_spins_configuration(1_sp,n,aux_matrix_pbc)

```

```

18 call average_energy(aux_matrix_pbc,n,U_adim);Madim=M_adim(aux_matrix_pbc,n)
19 call ising_relax(n,MC_step,MC_step_rlx,m,aux_matrix_pbc,0._dp,Tc_adim*1.1999_dp,U_adim,Madim,Madim_vector)
20 call histogram(' ../results/result_01c_histogram_lessTc_10x10.dat',10_sp,Madim_vector,MC_step-MC_step_rlx)
21 call initial_spins_configuration(1_sp,n,aux_matrix_pbc)
22 call average_energy(aux_matrix_pbc,n,U_adim);Madim=M_adim(aux_matrix_pbc,n)
23 call ising_relax(n,MC_step,MC_step_rlx,m,aux_matrix_pbc,0._dp,Tc_adim*1.5_dp,U_adim,Madim,Madim_vector)
24 call histogram(' ../results/result_01c_histogram_greaterTc_10x10.dat',10_sp,Madim_vector,MC_step-MC_step_rlx)
25 deallocate(aux_matrix_pbc);deallocate(Madim_vector)
26
27 m=10_sp;n=20_sp;allocate(aux_matrix_pbc(n+2,n+2));allocate(Madim_vector(MC_step-MC_step_rlx))
28 call initial_spins_configuration(1_sp,n,aux_matrix_pbc)
29 call average_energy(aux_matrix_pbc,n,U_adim);Madim=M_adim(aux_matrix_pbc,n)
30 call ising_relax(n,MC_step,MC_step_rlx,m,aux_matrix_pbc,0._dp,Tc_adim*1.11_dp,U_adim,Madim,Madim_vector)
31 call histogram(' ../results/result_01c_histogram_lessTc_20x20.dat',10_sp,Madim_vector,MC_step-MC_step_rlx)
32 call initial_spins_configuration(1_sp,n,aux_matrix_pbc)
33 call average_energy(aux_matrix_pbc,n,U_adim);Madim=M_adim(aux_matrix_pbc,n)
34 call ising_relax(n,MC_step,MC_step_rlx,m,aux_matrix_pbc,0._dp,Tc_adim*1.5_dp,U_adim,Madim,Madim_vector)
35 call histogram(' ../results/result_01c_histogram_greaterTc_20x20.dat',10_sp,Madim_vector,MC_step-MC_step_rlx)
36 deallocate(aux_matrix_pbc);deallocate(Madim_vector)
37
38 m=10_sp;n=40_sp;allocate(aux_matrix_pbc(n+2,n+2));allocate(Madim_vector(MC_step-MC_step_rlx))
39 call initial_spins_configuration(1_sp,n,aux_matrix_pbc)
40 call average_energy(aux_matrix_pbc,n,U_adim);Madim=M_adim(aux_matrix_pbc,n)
41 call ising_relax(n,MC_step,MC_step_rlx,m,aux_matrix_pbc,0._dp,Tc_adim*1.118_dp,U_adim,Madim,Madim_vector)
42 call histogram(' ../results/result_01c_histogram_lessTc_40x40.dat',10_sp,Madim_vector,MC_step-MC_step_rlx)
43 call initial_spins_configuration(1_sp,n,aux_matrix_pbc)
44 call average_energy(aux_matrix_pbc,n,U_adim);Madim=M_adim(aux_matrix_pbc,n)
45 call ising_relax(n,MC_step,MC_step_rlx,m,aux_matrix_pbc,0._dp,Tc_adim*1.5_dp,U_adim,Madim,Madim_vector)
46 call histogram(' ../results/result_01c_histogram_greaterTc_40x40.dat',10_sp,Madim_vector,MC_step-MC_step_rlx)
47 deallocate(aux_matrix_pbc);deallocate(Madim_vector)
48
49 end program ising_ferromagnetic_model_04
50
51 subroutine ising_relax(n,MC_step,MC_step_rlx,m,aux_matrix_pbc,T_start,T_end,U_adim,Madim,Madim_vector)
52 use module_precision;use module_2D_ferromagnetic_ising
53 implicit none
54 real(dp), intent(in) :: T_end,T_start
55 integer(sp), intent(in) :: n,m,MC_step,MC_step_rlx
56 integer(sp), intent(inout) :: aux_matrix_pbc(n+2,n+2)
57 real(dp), intent(inout) :: U_adim,Madim
58 real(dp), intent(inout) :: Madim_vector(MC_step-MC_step_rlx)
59 integer(sp) :: i,j
60 real(dp) :: T_step,T_adim
61
62 bucle_01: do j=1,m ! cantidad de Temperaturas diferentes
63 T_step=abs(T_end-T_start)*(1._dp/real(m-1_sp,dp))
64 T_adim=T_start+T_step*real(j-1_sp,dp)
65 do i=1,MC_step_rlx
66 call MC_step_relaxation(1_sp,n,aux_matrix_pbc,T_adim,U_adim)
67 Madim=M_adim(aux_matrix_pbc,n) ! Magnetización
68 end do
69 do i=MC_step_rlx+1,MC_step
70 call MC_step_relaxation(1_sp,n,aux_matrix_pbc,T_adim,U_adim)
71 Madim=M_adim(aux_matrix_pbc,n) ! Magnetización
72 if (j==m) Madim_vector(i-MC_step_rlx)=Madim
73 end do
74 end do bucle_01
75
76 end subroutine ising_relax
77
78 ! subrutina para crear e imprimir histograma
79 subroutine histogram(file_name,file_number,x_vector,x_dim)
80 use module_precision
81
82 implicit none
83 character(len=*) , intent(in) :: file_name
84 integer(sp), intent(in) :: file_number
85 integer(sp), intent(in) :: x_dim ! dimension
86 real(dp), intent(in) :: x_vector(x_dim) ! normalized data
87
88 integer(sp), parameter :: n_bins=1000_sp ! numbers of bins (JUGAR CON ESTE VALOR)
89 real(dp), allocatable :: bins_points(:) ! points between bins vector
90 integer(sp), allocatable :: counter(:) ! counter vector of bins
91 real(sp) :: max_value ! maximum counter value
92 real(dp) :: min_bin_point,max_bin_point
93 real(dp) :: bins_step ! step of points between bins
94 integer(sp) :: i,j,istat ! loop and control variables
95
96 ! armamos el vector de bins
97 allocate(bins_points(n_bins+1),counter(n_bins))
98 max_bin_point=1._dp;min_bin_point=-1._dp
99 bins_step=abs(max_bin_point-min_bin_point)*(1._dp/n_bins)
100 do i=1,n_bins+1;bins_points(i)=min_bin_point+bins_step*real(i-1,dp);end do
101
102 ! llenamos el vector contador de bins
103 do i=1,n_bins
104 counter(i)=0

```

```

105     do j=1,x_dim
106         if ((bins_points(i)<=x_vector(j)).and.(bins_points(i+1)>=x_vector(j))) then
107             counter(i)=counter(i)+1
108         endif
109     enddo;enddo
110
111     max_value=real(maxval(counter(:)),dp)
112     if (max_value==0._dp) write(*,*) 'math error'
113
114     ! escribimos el histograma
115     open(file_number,file=file_name,status='replace',action='write',iostat=istat)
116     21 format(A12,x,A12); 20 format(E12.4,x,E12.4);write(*,*) 'istat=', istat
117     write(file_number,21) 'bins points','counter'
118     do i = 1,n_bins; write(file_number,20) bins_points(i),real(counter(i),dp)*(1._dp/max_value); enddo
119     close(file_number)
120 end subroutine histogram

```

ising_ferromagnetic_model_05.f90

```

1  ! P01.d (calculamos los cumulantes de binder)
2  ! make clean && make ising_ferromagnetic_model_05.o && ./ising_ferromagnetic_model_05.o
3  program ising_ferromagnetic_model_05
4      use module_precision;use module_2D_ferromagnetic_ising
5      implicit none
6
7      integer(sp), parameter :: n=10_sp ! sitios de red por dimension
8      integer(sp), parameter :: MC_step=5000_sp,MC_step_trans=3000_sp ! Monte Carlo step total and transitory
9      integer(sp), parameter :: m1=25_sp,m2=50_sp ! puntos p/ mallado fino y grueso
10     real(dp), parameter :: Tmin_adim=0._dp,Tmax_adim=10._dp ! temperatura adimensional
11     real(dp), parameter :: Tc_adim=2.2692_dp ! temperatura de Curie adimensional
12     real(dp), parameter :: deltaT_adim=Tc_adim*0.5_dp ! intervalo para incrementar ptos
13     integer(sp), allocatable :: aux_matrix_pbc(:,:)
14     integer(sp) :: i,istat
15     real(dp) :: U_adim,U_med_adim,sigma_U,error_U ! Energía interna
16     real(dp) :: Madim,M_med_adim,sigma_M,error_M,Mexact ! Magnetización
17     real(dp) :: susc_adim ! Susceptibilidad magnética
18     real(dp) :: cv ! calor específico
19     real(dp) :: T_adim,T_step1,T_step2
20     real(dp) :: time_start,time_end ! tiempos de CPU
21     real(dp) :: binder_cumulant
22
23     open(10,file='../results/result_01d_binder_cumulant_10x10.dat',status='replace',action='write',iostat=istat)
24     !open(10,file='../results/result_01d_binder_cumulant_20x20.dat',status='replace',action='write',iostat=istat)
25     !open(10,file='../results/result_01d_binder_cumulant_40x40.dat',status='replace',action='write',iostat=istat)
26     write(*,*) 'istat(10file) = ',istat
27     21 format(A12,x,A12);write(10,21) 'T/Tc','binder_cumulant'
28     20 format(E12.4,x,E12.4)
29
30     call cpu_time(time_start)
31
32     allocate(aux_matrix_pbc(n+2,n+2))
33     ! genero configuracion inicial (random,descorrelacionada)
34     call initial_spins_configuration(1_sp,n,aux_matrix_pbc)
35     ! calculamos energía interna (configuración inicial)
36     call average_energy(aux_matrix_pbc,n,U_adim)
37     ! calculamos magnetización inicial
38     Madim=M_adim(aux_matrix_pbc,n)
39
40     ! mallado grueso
41     do i=1,m1
42         T_step1=abs(Tc_adim-deltaT_adim-Tmin_adim)*(1._dp/real(m1-1,dp))
43         T_adim=Tmin_adim+T_step1*real(i-1,dp)
44         call rlx_ising(n,aux_matrix_pbc,MC_step,MC_step_trans,T_adim,Tc_adim,&
45             U_adim,U_med_adim,sigma_U,error_U,&
46             Madim,M_med_adim,sigma_M,error_M,Mexact,&
47             susc_adim,cv,binder_cumulant)
48         write(10,20) T_adim*(1._dp/Tc_adim),binder_cumulant
49     end do
50     write(*,*) 'primer bucle terminado...'
51
52     ! mallado fino
53     do i=1,m2
54         T_step2=2_dp*deltaT_adim*(1._dp/real(m2-1,dp))
55         T_adim=(Tc_adim-deltaT_adim)+T_step2*real(i-1,dp)
56         call rlx_ising(n,aux_matrix_pbc,MC_step,MC_step_trans,T_adim,Tc_adim,&
57             U_adim,U_med_adim,sigma_U,error_U,&
58             Madim,M_med_adim,sigma_M,error_M,Mexact,&
59             susc_adim,cv,binder_cumulant)
60         write(10,20) T_adim*(1._dp/Tc_adim),binder_cumulant
61     end do
62     write(*,*) 'segundo bucle terminado...'
63
64     ! mallado grueso
65     do i=1,m1
66         T_step1=abs(Tmax_adim-(Tc_adim+deltaT_adim))*(1._dp/real(m1-1,dp))
67         T_adim=(Tc_adim+deltaT_adim)+T_step1*real(i-1,dp)

```



```

68     call rlx_ising(n,aux_matrix_pbc,MC_step,MC_step_trans,T_adim,Tc_adim,&
69                 U_adim,U_med_adim,sigma_U,error_U,&
70                 Madim,M_med_adim,sigma_M,error_M,Mexact,&
71                 susc_adim,cv,binder_cumulant)
72     write(10,20) T_adim*(1._dp/Tc_adim),binder_cumulant
73 end do
74
75 close(10)
76 deallocate(aux_matrix_pbc)
77
78 call cpu_time(time_end); write(*,*) 'elapsed time = ',(time_end-time_start)
79 end program ising_ferromagnetic_model_05
80
81 subroutine rlx_ising(n,aux_matrix_pbc,MC_step,MC_step_trans,T_adim,Tc_adim,&
82                   U_adim,U_med_adim_mom,sigma_U_mom,error_U_mom,&
83                   Madim,M_med_adim_mom,sigma_M_mom,error_M_mom,Mexact,&
84                   susc_adim,cv,binder_cumulant)
85 use module_precision; use module_2D_ferromagnetic_ising
86 implicit none
87
88 integer(sp), intent(in) :: n,MC_step,MC_step_trans
89 real(dp), intent(in) :: T_adim,Tc_adim
90 integer(sp), intent(inout) :: aux_matrix_pbc(n+2,n+2)
91 real(dp), intent(inout) :: U_adim,U_med_adim_mom,sigma_U_mom,error_U_mom ! Energía interna
92 real(dp), intent(inout) :: Madim,M_med_adim_mom,sigma_M_mom,error_M_mom,Mexact ! Magnetización
93 real(dp), intent(inout) :: susc_adim ! Susceptibilidad magnética
94 real(dp), intent(inout) :: cv ! calor específico
95 real(dp), intent(inout) :: binder_cumulant
96
97 integer(sp), parameter :: m_exp=50_sp ! numero de experimentos
98 real(dp) :: s0,s1_U,s2_U,s1_M,s2_M,s4_M ! variables para hacer estadística
99 real(dp) :: s4_M_mom,s2_M_mom
100 integer(sp) :: i,j
101 real(dp), allocatable :: U_med_adim_vector(:),M_med_adim_vector(:)
102
103 allocate(U_med_adim_vector(m_exp),M_med_adim_vector(m_exp))
104 s0=real(MC_step-MC_step_trans,dp)
105
106 s4_M_mom=0._dp;s2_M_mom=0._dp
107 do j=1,m_exp
108     s1_U=0._dp;s2_U=0._dp;s1_M=0._dp;s2_M=0._dp;s4_M=0._dp
109     do i=1,MC_step
110         call MC_step_relaxation(1_sp,n,aux_matrix_pbc,T_adim,U_adim)
111         Madim=M_adim(aux_matrix_pbc,n) ! Magnetización
112         ! datos para hacer estadística en steady state
113         if (i>=MC_step_trans) then
114             s2_U=s2_U+U_adim*U_adim;s1_U=s1_U+U_adim ! primer y segundo momento energía
115             s2_M=s2_M+Madim*Madim;s1_M=s1_M+Madim ! primer y segundo momento magnetización
116             s4_M=s4_M+Madim*Madim*Madim*Madim ! cuarto momento magnetización
117         end if
118     end do
119     ! calculamos valores medios
120     U_med_adim_vector(j)=s1_U*(1._dp/s0)
121     M_med_adim_vector(j)=s1_M*(1._dp/s0)
122     s4_M_mom=s4_M_mom+s4_M*(1._dp/s0);s2_M_mom=s2_M_mom+s2_M*(1._dp/s0)
123 end do
124
125 ! calculamos media de medias,desviacion estándar, varianza y error
126 U_med_adim_mom=(1._dp/real(m_exp))*sum(U_med_adim_vector(:))
127 U_med_adim_vector(:)=(U_med_adim_vector(:)-U_med_adim_mom)
128 U_med_adim_vector(:)=U_med_adim_vector(:)*U_med_adim_vector(:)
129 sigma_U_mom=sqrt((1._dp/real(m_exp))*sum(U_med_adim_vector(:)))
130 error_U_mom=sigma_U_mom*(1._dp/sqrt(real(m_exp)))
131
132 M_med_adim_mom=(1._dp/real(m_exp))*sum(M_med_adim_vector(:))
133 M_med_adim_vector(:)=(M_med_adim_vector(:)-M_med_adim_mom)
134 M_med_adim_vector(:)=M_med_adim_vector(:)*M_med_adim_vector(:)
135 sigma_M_mom=sqrt((1._dp/real(m_exp))*sum(M_med_adim_vector(:)))
136 error_M_mom=sigma_M_mom*(1._dp/sqrt(real(m_exp)))
137 if (T_adim==0._dp) then;cv=0._dp;susc_adim=0._dp
138 else
139     cv=(1._dp/T_adim)*sigma_U_mom*sigma_U_mom
140     susc_adim=(1._dp/T_adim)*sigma_M_mom*sigma_M_mom
141 end if
142 Mexact=M_exact_adim(n,T_adim,Tc_adim)
143 binder_cumulant=1._dp-real(m_exp,dp)*s4_M_mom*(1._dp/(3._dp*s2_M_mom*s2_M_mom))
144
145 deallocate(U_med_adim_vector,M_med_adim_vector)
146
147 end subroutine rlx_ising

```

ising_ferromagnetic_model_06.f90

```

1 ! P01.e (calculamos función de autocorrelación de la energía y magnetización)
2 ! make clean && make ising_ferromagnetic_model_06.o && ./ising_ferromagnetic_model_06.o
3 program ising_ferromagnetic_model_06

```

```

4      use module_precision; use module_2D_ferromagnetic_ising
5      implicit none
6
7      integer(sp), parameter :: n=10_sp           ! sitios de red por dimension
8      integer(sp), parameter :: MC_step_trans=10000_sp ! Monte Carlo step transitory
9      integer(sp), parameter :: m=30_sp           ! puntos p/ para deltas de temperaturas
10     integer(sp), parameter :: tau_corr=1000_sp    ! tiempo máximo de correlación
11     integer(sp), parameter :: num_of_terms=1000000_sp ! cantidad de terminos para la última autocorr
12     integer(sp), parameter :: MC_step=num_of_terms+tau_corr+MC_step_trans-1 ! total Monte Carlo step
13     real(dp), parameter :: Tmin_adim=0._dp, Tmax_adim=2.22_dp ! temperatura adimensional
14     integer(sp), allocatable :: aux_matrix_pbc(:, :)
15     real(dp), allocatable :: autocor_vector_mom_U(:, :), autocor_vector_mom_M(:, :)! autocorrelación
16     integer(sp) :: i, istat
17     real(dp) :: U_adim, Madim ! Energía interna y Magenitación
18     real(dp) :: T_adim, T_step
19
20     !open(10, file='../results/result_01e_20x20_autocorr_T2.0.dat', status='replace', action='write', iostat=istat)
21     open(10, file='../results/result_01e_10x10_autocorr_T2.22.dat', status='replace', action='write', iostat=istat)
22     !open(10, file='../results/result_01e_40x40_autocorr_T2.2676.dat', status='replace', action='write', iostat=istat)
23     ! open(10, file='../results/result_01e_10x10_autocorr_T2.5.dat', status='replace', action='write', iostat=istat)
24     ! open(10, file='../results/result_01e_10x10_autocorr_T3.3.dat', status='replace', action='write', iostat=istat)
25     write(*, *) 'istat(10file) = ', istat
26     21 format(2(A12,x), A12); write(10, 21) 'tau_corr', 'autocorr_U', 'autocorr_M'
27     20 format(I12,x, E12.4, x, E12.4)
28
29     allocate(aux_matrix_pbc(n+2, n+2))
30     allocate(autocor_vector_mom_U(tau_corr), autocor_vector_mom_M(tau_corr))
31     ! genero configuracion inicial (random, descorrelacionada)
32     call initial_spins_configuration(1_sp, n, aux_matrix_pbc)
33     ! calculamos energía interna (configuración inicial)
34     call average_energy(aux_matrix_pbc, n, U_adim)
35     ! calculamos magnetización inicial
36     Madim=M_adim(aux_matrix_pbc, n)
37
38     do i=1, m
39         T_step=abs(Tmax_adim-Tmin_adim)*(1._dp/real(m-1, dp))
40         T_adim=Tmin_adim+T_step*real(i-1, dp)
41         if (i==m) T_adim=Tmax_adim
42         call rlx_ising(n, aux_matrix_pbc, MC_step, MC_step_trans, T_adim, Tmax_adim, &
43             U_adim, Madim, autocor_vector_mom_U, autocor_vector_mom_M, &
44             tau_corr, num_of_terms)
45         write(*, '(I3,x,A3,x,I3)') i, 'de', m
46     end do
47
48     do i=1, tau_corr
49         write(10, 20) i, autocor_vector_mom_U(i), autocor_vector_mom_M(i)
50     end do
51
52     close(10)
53     deallocate(aux_matrix_pbc)
54     deallocate(autocor_vector_mom_U); deallocate(autocor_vector_mom_M)
55 end program ising_ferromagnetic_model_06
56
57 subroutine rlx_ising(n, aux_matrix_pbc, MC_step, MC_step_trans, T_adim, Tmax_adim, &
58     U_adim, Madim, autocor_vector_mom_U, autocor_vector_mom_M, &
59     tau_corr, num_of_terms)
60     use module_precision; use module_2D_ferromagnetic_ising
61     implicit none
62
63     integer(sp), intent(in) :: n, MC_step, MC_step_trans, tau_corr, num_of_terms
64     real(dp), intent(in) :: T_adim, Tmax_adim
65     integer(sp), intent(inout) :: aux_matrix_pbc(n+2, n+2)
66     real(dp), intent(inout) :: U_adim ! Energía interna
67     real(dp), intent(inout) :: Madim ! Magenitación
68     real(dp), intent(inout) :: autocor_vector_mom_U(tau_corr), autocor_vector_mom_M(tau_corr)
69
70     integer(sp), parameter :: m_exp=3_sp ! numero de experimentos
71     integer(sp) :: i, j
72     real(dp), allocatable :: autocor_vector_U(:, :), aux_vector1_U(:, :), aux_vector2_U(:, :), mask_vector_U(:, :):
73     real(dp), allocatable :: autocor_vector_M(:, :), aux_vector1_M(:, :), aux_vector2_M(:, :), mask_vector_M(:, :):
74     real(dp) :: U_med, var_U, M_med, var_M ! valor media y varianza (autocorrelación)
75
76     allocate(autocor_vector_U(tau_corr), aux_vector1_U(tau_corr), &
77         aux_vector2_U(tau_corr), mask_vector_U(tau_corr))
78     allocate(autocor_vector_M(tau_corr), aux_vector1_M(tau_corr), &
79         aux_vector2_M(tau_corr), mask_vector_M(tau_corr))
80     if (T_adim==Tmax_adim) then
81         autocor_vector_mom_U(:, :)=0._dp; U_med=0._dp; var_U=0._dp
82         autocor_vector_mom_M(:, :)=0._dp; M_med=0._dp; var_M=0._dp
83     end if
84     do j=1, m_exp
85         do i=1, MC_step
86             call MC_step_relaxation(1_sp, n, aux_matrix_pbc, T_adim, U_adim)
87             Madim=M_adim(aux_matrix_pbc, n) ! Magnetización
88             ! datos para hacer estadística en steady state
89             if (i>=MC_step_trans.and.T_adim==Tmax_adim) then! calcular autocorr para la Temp requerida
90                 call func_autocorr(U_adim, i-MC_step_trans+1, tau_corr, num_of_terms, &

```

```

91         autocor_vector_U,aux_vector1_U,mask_vector_U,aux_vector2_U,&
92         U_med,var_U)
93     call func_autocor(Madim,i-MC_step_trans+1,tau_corr,num_of_terms,&
94         autocor_vector_M,aux_vector1_M,mask_vector_M,aux_vector2_M,&
95         M_med,var_M)
96     end if
97 end do
98 !autocorrelación
99 if (T_adim==Tmax_adim) then
100     autocor_vector_U(:)=(autocor_vector_U(:)-U_med*U_med)*(1._dp/var_U)
101     autocor_vector_mom_U(:)=autocor_vector_mom_U(:)+autocor_vector_U(:)
102     autocor_vector_M(:)=(autocor_vector_M(:)-M_med*M_med)*(1._dp/var_M)
103     autocor_vector_mom_M(:)=autocor_vector_mom_M(:)+autocor_vector_M(:)
104 end if
105 end do
106 deallocate(aux_vector1_U,aux_vector2_U,mask_vector_U)
107 deallocate(aux_vector1_M,aux_vector2_M,mask_vector_M)
108 if (T_adim==Tmax_adim) then
109     autocor_vector_mom_U(:)=(1._dp/real(m_exp,dp))*autocor_vector_mom_U(:)
110     autocor_vector_mom_M(:)=(1._dp/real(m_exp,dp))*autocor_vector_mom_M(:)
111 end if
112 deallocate(autocor_vector_U,autocor_vector_M)
113 end subroutine rlx_ising

```

module _2D_ferromagnetic_ising.f90

```

1  module module_2D_ferromagnetic_ising
2      use module_precision;use module_mt19937, only: sgrnd,grnd
3      implicit none
4      contains
5
6      subroutine initial_spins_configuration(T_init_type,n,aux_matrix_pbc)
7          integer(sp), intent(in) :: T_init_type,n
8          integer(sp), intent(inout) :: aux_matrix_pbc(n+2,n+2)
9
10         integer(sp) :: seed,seed_val(8),i,j
11         real(dp) :: nrand
12
13         call date_and_time(values=seed_val)
14         seed=seed_val(8)*seed_val(7)*seed_val(6)+seed_val(5);call sgrnd(seed)
15
16         ! creamos matriz de spin con PBC
17         select case (T_init_type)
18             case(1) ! genero configuracion inicial (random ó T(inicial)=Infinity)
19                 do j=2,n+1;do i=2,n+1
20                     nrand=real(grnd(),dp)
21                     if (nrand<0.5_dp) then;aux_matrix_pbc(i,j)=-1_sp
22                     else; aux_matrix_pbc(i,j)=1_sp;end if
23                 end do;end do
24                 call pbc(aux_matrix_pbc,n,5_sp) ! cambio de bordes
25             case(2) ! genero configuracion inicial (ordenada ó T(inicial)=0)
26                 aux_matrix_pbc(:, :) = 1_sp ! todos los spins "up"
27             case(3) ! genero configuracion inicial (ordenada ó T(inicial)=0)
28                 aux_matrix_pbc(:, :) = -1_sp ! todos los spins "down"
29         end select
30
31     end subroutine initial_spins_configuration
32
33     ! Energia en unidades de J_int (coeficiente de interacción >0 => ferromagnetic)
34     subroutine average_energy(aux_matrix_pbc,n,U)
35         integer(sp), intent(in) :: n
36         integer(sp), intent(in) :: aux_matrix_pbc(1:n+2,1:n+2)
37         real(dp), intent(inout) :: U
38         integer(sp) :: i,j
39
40         U=0._dp
41         do j=2,n+1
42             do i=2,n+1
43                 U=U+real(aux_matrix_pbc(i,j)*(aux_matrix_pbc(i,j+1)+aux_matrix_pbc(i,j-1)&
44                     & +aux_matrix_pbc(i+1,j)+aux_matrix_pbc(i-1,j)),dp)
45             end do
46         end do
47         U=U*0.5_dp ! suponemos J_int >0 (to compensate over-counting)
48     end subroutine average_energy
49
50     ! Delta energético por "flipear" un spin, en unidades de J_int
51     function U_delta_adim(spin_value,spin1,spin2,spin3,spin4)
52         integer(sp), intent(in) :: spin_value,spin1,spin2,spin3,spin4
53         integer(dp) :: U_delta_adim
54         U_delta_adim=2_dp*real(spin_value*(spin1+spin2+spin3+spin4),dp)
55     end function U_delta_adim
56
57     ! MAGNETIZACIÓN APROXIMADA (específica ó por unidad de partícula)
58     function M_adim(aux_matrix_pbc,n)
59         integer(sp), intent(in) :: n,aux_matrix_pbc(n+2,n+2)
60         integer(sp) :: i,j

```

```

61     real(dp)                :: M_adim
62     M_adim=0._dp
63     do j=2,n+1;do i=2,n+1
64         M_adim=M_adim+real(aux_matrix_pbc(i,j),dp)
65     end do;end do
66     M_adim=(1._dp/(n*n))*abs(M_adim) ! con valor absoluto
67     !M_adim=(1._dp/(n*n))*M_adim ! sin valor absoluto
68 end function M_adim
69
70 ! MAGNETIZACIÓN EXACTA
71 function M_exact_adim(n,T_adim,Tc_adim)
72     integer(sp), intent(in) :: n
73     real(dp),    intent(in) :: T_adim,Tc_adim
74     real(dp)      :: zz,M_exact_adim
75     cond1: if (T_adim<Tc_adim) then
76         if (T_adim==0._dp) then;M_exact_adim=1._dp;exit cond1;end if
77         if (4*(1._dp/T_adim)<abs(log(tiny(1._dp)))) then
78             zz=exp(-4*(1._dp/T_adim)) ! zz=z**2
79         else;zz=0._dp;end if
80         M_exact_adim=((1+zz)**0.25_dp)*((1-6*zz+zz*zz)**0.125_dp)*(1._dp/sqrt(1._dp-zz))
81     else;M_exact_adim=0._dp;end if cond1
82 end function M_exact_adim
83
84 ! CALCULO DE RELAJACIÓN CON MÉTODO MONTE CARLO METRÓPOLIS
85 subroutine MC_step_relaxation(MC_step_type,n,aux_matrix_pbc,T_adim,U_adim)
86
87     integer(sp), intent(in) :: MC_step_type,n          ! Tipo de MC relaxation y dimension
88     integer(sp), intent(inout) :: aux_matrix_pbc(n+2,n+2) ! Matriz de spins
89     real(dp),    intent(inout) :: U_adim                ! Energía interna
90     real(dp),    intent(in)    :: T_adim                ! Temperatura de equilibrio
91
92     real(dp)      :: deltaU_adim
93     real(dp)      :: nrand
94     integer(sp)   :: seed,seed_val(8),i,j,k
95
96     call date_and_time(values=seed_val)
97     seed=seed_val(8)*seed_val(7)*seed_val(6)+seed_val(5);call sgrnd(seed)
98
99     ! hago un paso de Monte Carlo (MC_step)
100    select case(MC_step_type)
101    case(1) ! exploramos el espacio de configuraciones de forma random
102        do k=1,n*n
103            ! floor(x,type) returns the greatest integer less than or equal to X
104            nrand=real(grnd(),dp);i=2_sp+floor(n*nrand,sp) ! random integer from 2 to n+1 (fila)
105            nrand=real(grnd(),dp);j=2_sp+floor(n*nrand,sp) ! random integer from 2 to n+1 (columna)
106
107            deltaU_adim=U_delta_adim(aux_matrix_pbc(i,j),&
108                                aux_matrix_pbc(i,j+1),aux_matrix_pbc(i,j-1),&
109                                aux_matrix_pbc(i+1,j),aux_matrix_pbc(i-1,j))
110            cond1:if (deltaU_adim<=0._dp) then
111                U_adim=U_adim+deltaU_adim
112                aux_matrix_pbc(i,j)=-aux_matrix_pbc(i,j)
113                call pbc_ij(aux_matrix_pbc,n,i,j) ! actualizamos condiciones de borde
114            else
115                if (T_adim==0._dp) exit cond1
116                nrand=real(grnd(),dp)
117                if (deltaU_adim*(1._dp/T_adim)<abs(log(tiny(1._dp)))) then
118                    if (exp(-deltaU_adim*(1._dp/T_adim))>=nrand) then
119                        U_adim=U_adim+deltaU_adim
120                        aux_matrix_pbc(i,j)=-aux_matrix_pbc(i,j)
121                        call pbc_ij(aux_matrix_pbc,n,i,j) ! actualizamos condiciones de borde
122                    end if
123                else
124                    if (nrand==0._dp) then
125                        U_adim=U_adim+deltaU_adim
126                        aux_matrix_pbc(i,j)=-aux_matrix_pbc(i,j)
127                        call pbc_ij(aux_matrix_pbc,n,i,j) ! actualizamos condiciones de borde
128                    end if
129                end if
130            end if cond1
131        end do
132    case(2) ! exploramos el espacio de configuraciones de forma ordenada
133        do j=2,n+1;do i=2,n+1
134            deltaU_adim=U_delta_adim(aux_matrix_pbc(i,j),&
135                                aux_matrix_pbc(i,j+1),aux_matrix_pbc(i,j-1),&
136                                aux_matrix_pbc(i+1,j),aux_matrix_pbc(i-1,j))
137            cond2: if (deltaU_adim<=0._dp) then
138                U_adim=U_adim+deltaU_adim
139                aux_matrix_pbc(i,j)=-aux_matrix_pbc(i,j)
140                call pbc_ij(aux_matrix_pbc,n,i,j) ! actualizamos condiciones de borde
141            else
142                if (T_adim==0._dp) exit cond2
143                nrand=real(grnd(),dp)
144                if (deltaU_adim*(1._dp/T_adim)<abs(log(tiny(1._dp)))) then
145                    if (exp(-deltaU_adim*(1._dp/T_adim))>=nrand) then
146                        U_adim=U_adim+deltaU_adim
147                        aux_matrix_pbc(i,j)=-aux_matrix_pbc(i,j)

```

```

148         call pbc_ij(aux_matrix_pbc,n,i,j) ! actualizamos condiciones de borde
149     end if
150 else
151     if (nrand==0._dp) then
152         U_adim=U_adim+deltaU_adim
153         aux_matrix_pbc(i,j)=-aux_matrix_pbc(i,j)
154         call pbc_ij(aux_matrix_pbc,n,i,j) ! actualizamos condiciones de borde
155     end if
156 end if
157 end if cond2
158 end do;end do
159 end select
160 end subroutine MC_step_relaxation
161
162 subroutine pbc(aux_matrix_pbc,n,change_type)
163     implicit none
164     integer(sp), intent(inout) :: aux_matrix_pbc(n+2,n+2)
165     integer(sp), intent(in) :: n,change_type
166     select case(change_type) ! tipo de cambio
167     case(1) ! cambiamos primer fila (borde superior)
168         aux_matrix_pbc(1,2:n+1)=aux_matrix_pbc(n+1,2:n+1)
169     case(2) ! cambiamos última fila (borde inferior)
170         aux_matrix_pbc(n+2,2:n+1)=aux_matrix_pbc(2,2:n+1)
171     case(3) ! cambiamos primer columna (borde izquierdo)
172         aux_matrix_pbc(2:n+1,1)=aux_matrix_pbc(2:n+1,n+1)
173     case(4) ! cambiamos última columna (borde derecho)
174         aux_matrix_pbc(2:n+1,n+2)=aux_matrix_pbc(2:n+1,2)
175     case(5) ! cambiamos todo (todos los bordes)
176         aux_matrix_pbc(n+2,2:n+1)=aux_matrix_pbc(2,2:n+1)
177         aux_matrix_pbc(2:n+1,n+2)=aux_matrix_pbc(2:n+1,2)
178         aux_matrix_pbc(1,2:n+1)=aux_matrix_pbc(n+1,2:n+1)
179         aux_matrix_pbc(2:n+1,1)=aux_matrix_pbc(2:n+1,n+1)
180     end select
181 end subroutine pbc
182
183 subroutine pbc_ij(aux_matrix_pbc,n,i,j)
184     implicit none
185     integer(sp), intent(in) :: n,i,j
186     integer(sp), intent(inout) :: aux_matrix_pbc(n+2,n+2)
187
188     if (i==2.and.j==2) then ! change right & lower edges
189         call pbc(aux_matrix_pbc,n,4_sp);call pbc(aux_matrix_pbc,n,2_sp)
190     else if (i==2.and.j==n+1) then ! change left & lower edges
191         call pbc(aux_matrix_pbc,n,3_sp);call pbc(aux_matrix_pbc,n,2_sp)
192     else if (i==n+1.and.j==2) then ! change right & upper edges
193         call pbc(aux_matrix_pbc,n,4_sp);call pbc(aux_matrix_pbc,n,1_sp)
194     else if (i==n+1.and.j==n+1) then ! change left & upper edges
195         call pbc(aux_matrix_pbc,n,3_sp);call pbc(aux_matrix_pbc,n,1_sp)
196     end if
197
198     if (i==2.and.j/=2.and.j/=n+1) call pbc(aux_matrix_pbc,n,2_sp) ! cambio borde inferior
199     if (j==2.and.i/=2.and.i/=n+1) call pbc(aux_matrix_pbc,n,4_sp) ! cambio borde derecho
200     if (i==n+1.and.j/=2.and.j/=n+1) call pbc(aux_matrix_pbc,n,1_sp) ! cambio borde superior
201     if (j==n+1.and.i/=2.and.i/=n+1) call pbc(aux_matrix_pbc,n,3_sp) ! cambio borde izquierdo
202
203 end subroutine pbc_ij
204
205 ! subrutina para calcular la función de autocorrelación
206 subroutine func_autocor(obs,time_index,tau_corr,num_of_terms,&
207     autocor_vector,aux_vector1,mask_vector,aux_vector2,&
208     obs_med,var)
209     implicit none
210
211     integer(sp), intent(in) :: time_index ! índice del observable
212     integer(sp), intent(in) :: tau_corr ! tiempo de correlación
213     integer(sp), intent(in) :: num_of_terms ! menor cant de terminos admisibles (debe ser multiplo de tau_corr)
214     real(dp), intent(in) :: obs ! observable
215     real(dp), intent(inout) :: autocor_vector(tau_corr) ! vector autocorrelación
216     real(dp), intent(inout) :: aux_vector1(tau_corr),aux_vector2(tau_corr) ! vectores auxiliares
217     real(dp), intent(inout) :: mask_vector(tau_corr) ! vector máscara
218     real(dp), intent(inout) :: obs_med,var ! valor medio y varianza
219     integer(sp) :: i,index ! loop indices
220     integer(sp) :: total_obs_num ! total de observables que deben
221
222     ! calculamos valores primeros y segundos momentos
223     obs_med=obs_med+obs ! primeros momentos (acumulación)
224     var=var+obs*obs ! segundos momentos (acumulación)
225
226     ! llenamos por primera vez el vector de dim=tau_corr
227     if (time_index<=tau_corr) autocor_vector(time_index)=obs
228     if (time_index==tau_corr) then
229         aux_vector1(:)=autocor_vector(:)
230         aux_vector2(:)=autocor_vector(:)
231     end if
232
233     ! determinamos total de observables que van a ingresar
234     total_obs_num=num_of_terms+tau_corr

```

```

235
236     ! computamos las correlaciones a todo tiempo
237     if (time_index>tau_corr.and.time_index<=(total_obs_num)) then
238         ! definimos el indice dentro del rango [1,tau_corr]
239         if (mod(time_index,tau_corr)==0_sp) then;index=tau_corr
240         else;index=mod(time_index,tau_corr);end if
241         aux_vector2(:)=cshift(aux_vector2(:),shift=1)
242         aux_vector2(tau_corr)=obs
243         autocor_vector(index)=autocor_vector(index)+dot_product(aux_vector1(:),aux_vector2(:))
244     end if
245     if (mod(time_index,tau_corr)==0_sp) aux_vector1(:)=aux_vector2(:)
246
247     ! computamos las correlaciones faltantes
248     if (time_index==total_obs_num) then
249         mask_vector(:)=1._dp
250         aux_vector1(:)=aux_vector2(:)
251         do index=1,tau_corr-1
252             aux_vector2(:)=cshift(aux_vector2(:),shift=1)
253             mask_vector(tau_corr-(index-1))=0._dp
254             aux_vector2(:)=aux_vector2(:)*mask_vector(:)
255             autocor_vector(index)=autocor_vector(index)+dot_product(aux_vector1(:),aux_vector2(:))
256             ! promediamos en el ensamble
257             autocor_vector(index)=autocor_vector(index)*(1._dp/real(num_of_terms+tau_corr-index,dp))
258         end do
259         ! promediamos en el ensamble (tau_corr términos)
260         autocor_vector(tau_corr)=autocor_vector(tau_corr)*(1._dp/real(num_of_terms,dp))
261         obs_med=obs_med*(1._dp/real(total_obs_num,dp)) ! primeros momentos
262         var=var*(1._dp/real(total_obs_num,dp)) ! segundos momentos
263         var=var-obs_med*obs_med ! varianza
264     end if
265     end subroutine func_autocor
266
267 end module module_2D_ferromagnetic_ising

```